

МИНИСТЕРСТВО ОБРАЗОВАНИЯ И НАУКИ  
ДОНЕЦКОЙ НАРОДНОЙ РЕСПУБЛИКИ  
ГОСУДАРСТВЕННОЕ ОБРАЗОВАТЕЛЬНОЕ УЧРЕЖДЕНИЕ  
ВЫСШЕГО ПРОФЕССИОНАЛЬНОГО ОБРАЗОВАНИЯ  
“ДОНЕЦКИЙ НАЦИОНАЛЬНЫЙ ТЕХНИЧЕСКИЙ УНИВЕРСИТЕТ”

КАФЕДРА «ТЕХНИЧЕСКАЯ ТЕПЛОФИЗИКА»

МЕТОДИЧЕСКИЕ УКАЗАНИЯ

по проведению практических занятий и организации СРС по дисциплине  
«Моделирование теплотехнических агрегатов в стандартных инженерных пакетах»

для студентов очной и заочной форм обучения направления подготовки  
22.04.02 «Металлургия» магистерской программы  
«Промышленная теплотехника»

Донецк – 2018

МИНИСТЕРСТВО ОБРАЗОВАНИЯ И НАУКИ  
ДОНЕЦКОЙ НАРОДНОЙ РЕСПУБЛИКИ  
ГОСУДАРСТВЕННОЕ ОБРАЗОВАТЕЛЬНОЕ УЧРЕЖДЕНИЕ  
ВЫСШЕГО ПРОФЕССИОНАЛЬНОГО ОБРАЗОВАНИЯ  
“ДОНЕЦКИЙ НАЦИОНАЛЬНЫЙ ТЕХНИЧЕСКИЙ УНИВЕРСИТЕТ”  
КАФЕДРА «ТЕХНИЧЕСКАЯ ТЕПЛОФИЗИКА»

МЕТОДИЧЕСКИЕ УКАЗАНИЯ  
по проведению практических занятий и организации СРС по дисциплине  
«Моделирование теплотехнических агрегатов в стандартных инженерных пакетах»

для студентов очной и заочной форм обучения направления подготовки  
22.04.02 «Металлургия» магистерской программы  
«Промышленная теплотехника»

РАССМОТРЕНО  
на заседании кафедры  
технической теплофизики  
Протокол №12 от 31.05.2018 г.

Донецк – 2018

УДК 669.04.1 (075)

Методические указания по проведению практических занятий и организации самостоятельной работы студентов (СРС) по дисциплине «Моделирование теплотехнических агрегатов в стандартных инженерных пакетах» / Составитель: Кашаев В.В. – Донецк: ДонНТУ, 2018. – 63 с.

Рассмотрены основы моделирования, необходимые для изучения дисциплин в техническом вузе при подготовке магистров по направлению подготовки «Металлургия». Данна математическая формулировка задач стохастического моделирования, сложного теплообмена, в том числе при фазовых переходах, рассмотрены основы теории подобия, а также основы вычислительного компьютерного эксперимента с применением нейтральных разностных схем. Представлен цикл практических работ и с вопросами для самоконтроля.

Составитель: доцент, к.т.н. Кашаев В.В.

Рецензент: доцент, к.т.н. Качура В.В.

## СОДЕРЖАНИЕ

|  |    |
|--|----|
| Введение   | 5  |
| 1. Статистическая обработка массива случайных данных                             | 7  |
| 2. Метод наименьших квадратов для уравнения линейной регрессии                   | 13 |
| 3. Метод прогонки решения сеточных уравнений                                     | 17 |
| 4. Метод последовательной линейной верхней релаксации решения сеточных уравнений | 23 |
| 5. Расчет времени охлаждения плоского слоя                                       | 28 |
| 6. Расчет времени охлаждения блюма   | 37 |
| 7. Расчет времени затвердевания непрерывного плоского слитка (сляба)             | 45 |
| 8. Расчет времени затвердевания непрерывного слитка квадратного сечения (блюма)  | 52 |
| Список литературы  | 62 |

## ВВЕДЕНИЕ

Данной методическое руководство по курсу «Моделирование теплотехнических агрегатов в стандартных инженерных пакетах» предназначено студентам технических вузов, изучающих моделирование процессов и объектов в металлургии по направлению подготовки «Металлургия». Оптимизация технологических процессов в металлургии, связанных с переносом и использованием тепловой энергии, предъявляет все более сложные требования к расчету теплообмена. Для технологических схем, например, получения литого металла, в которых необходимость отвода или перераспределения тепла раньше вообще не принималась во внимание или учитывалась упрощенно с использованием эмпирических соотношений теории подобия, теперь требуется применение достаточно точных методов теплового расчета.

Детальное описание стохастических процессов, тепломассообмена, обеспечивающее надежное совпадение расчетных данных с результатами экспериментов, возможно на основе моделирования и современного вычислительного эксперимента на компьютере. Основная идея решения на компьютере неравновесных задач тепломассообмена заключается в замене исходных дифференциальных уравнений и краевых условий, описывающих теплообмен, конечно-разностными аналогами и в последующем решении алгебраических уравнений с неизвестными значениями определяемых функций в узлах сетки.

Однако численные методы только кажутся простыми и оптимистичными, их применение порождает новые требования и проблемы. Одной из таких проблем является спектр неизбежных ошибок округления, аппроксимации, схемных ошибок, которые искажают решение, сглаживая неоднородности, проявляясь в виде фиктивных источников, стоков и т.д. Уменьшение этих ошибок – непростая задача. Так, например, сгущение конечно-разностной сетки, приводящее к снижению ошибок аппроксимации, одновременно может приводить к возрастанию ошибок округления и схемных ошибок. Применение нейтральных (по отношению к спектру ошибок) конечно-разностных схем к уравнениям теп-

ломассопереноса позволяет не только удовлетворять требованиям адекватности вычислительного эксперимента, но и повышать устойчивость счета, эффективность вычислительного алгоритма.

Проведение теплофизических расчетов предполагает знание законов тепломассообмена, инженерных методов расчета, основанных на теории подобия и моделирования. Поэтому в учебном пособии последовательно излагаются в соответствии с существующим образовательным стандартом подготовки бакалавров по направлению «Металлургия» законы теплопроводности, диффузии, конвективного теплообмена и теплообмена излучением. Рассмотрены различные постановки задач теплофизики формирования слитка с учетом фазовых и структурных переходов.

Значительное внимание уделяется выработке практических навыков вычислительного эксперимента. Рассматривается общий алгоритм решения задач тепломассообмена, обсуждаются проблемы аппроксимации, устойчивости. Описаны эффективные методы решения сеточных уравнений, а также даны прошедшие практическую проверку Паскаль- программы их реализации. Основная задача учебного пособия состоит в том, чтобы в рамках курса моделирования не только познакомить студентов технического университета с основами предмета, но и пробудить у них интерес к методам вычислительного эксперимента на компьютере, к пониманию и умению оценки спектра ошибок, применяя известный программный продукт и разрабатывая собственные программы для решения конкретных задач.

Небольшой объем МУ обусловил ограничения при изложении обширных вопросов моделирования в металлургии и заставил прибегнуть к физическому уровню строгости изложения. Сознательный уход от подробного математического обоснования позволил акцентировать внимание на постановке задач и основных проблемах практического решения. Углубленное изучение предмета можно продолжить, пользуясь приведенным списком литературы.

## 1. Статистическая обработка массива случайных данных

**Цель работы:** ознакомиться с методами обработки массива случайных данных.

**Приборы и принадлежности:** калькулятор.

### Сведения из теории

*Случайной величиной* называют переменную величину, которая в результате опыта может принимать различные значения. Случайные величины обычно обозначают большими буквами, например  $X$ . Значения случайной величины, которые она принимает в результате опыта, обозначают малыми буквами  $x_1, x_2, \dots, x_n$ . При массовых испытаниях каждое из возможных значений случайной величины  $x_1, x_2, \dots, x_n$  может встретиться  $m_1, m_2, \dots, m_n$  раз. Эти числа называют *частотами*. Весь набор значений случайной величины образует *генеральную совокупность*  $N_x$ . Отсеванные из генеральной совокупности  $N_x$  значения грубых ошибок образуют *выборку* объемом  $N$ . Если всего было проведено  $N_x$  опытов, то в результате выборки получаем

$$\sum_{i=1}^n m_i = N$$

ние  $m_i/N$  называют *частотой* или *относительной частотой*.

Распределение случайной величины  $X$  (рис. 1.1), определяющей вероятность того, что эта величина примет значения, не превосходящие  $x_i$ , т.е. попадет в интервал  $(-\infty, x_i]$ , называется *интегральной функцией распределения*  $F(x_i)$ :

$$F(x_i) = p(X < x_i). \quad (1.1)$$

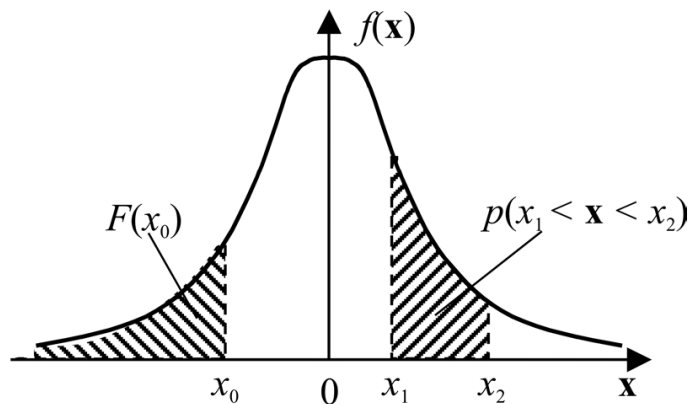


Рис. 1.1. Плотность распределения случайной величины

Плотность вероятности  $f(x)$  задает распределение случайной величины и количественно оценивается вероятностью события  $p(x_1 < X \leq x_2) = f(x)dx$ . Функция распределения  $F(x)$  является первообразной для плотности  $f(x)$ , поэтому

$$p(x_1 < x < x_2) = \int_{x_1}^{x_2} f(x) dx = F(x_2) - F(x_1), \quad (1.2)$$

$f(x)$  называют также *дифференциальной функцией распределения*.

Распределение случайной величины представляют *гистограммой частот* – ступенчатой функцией, состоящей из прямоугольников, основанием которой служат частичные интервалы длиной  $h$ , а высоты равны отношению  $n_i/h$  (плотность частоты). Площадь гистограммы частот равна сумме всех частот, т.е. объему выборки.

*Модой распределения* ( $Mo$ ) называется значение случайной величины  $X$ , при котором  $f(x)$  принимает максимальное (наиболее вероятное) значение в окрестности какого-либо значения случайной величины  $x$ .

*Математическим ожиданием дискретной* случайной величины называется сумма произведений всех возможных значений случайной величины на вероятности этих значений:

$$M_x = \sum_{i=1}^n x_i \cdot p_i. \quad (1.3)$$

*Стандартное (или среднее квадратическое) отклонение*  $\sigma$  служит мерой рассеяния случайной величины  $X$  около ее математического ожидания:

$$\sigma = \sqrt{\frac{1}{N} \sum_{i=1}^n (x_i - M_x)^2}. \quad (1.4)$$

Другая мера рассеяния – *дисперсия*  $D_x$  характеризует разброс значений случайной величины относительно ее математического ожидания и определяется по формуле  $D_x = \sigma^2$ .

В качестве примера в табл. 1.1 представлены результаты выборочного взвешивания отливок ( $x_i$ , кг,  $i = 1, 2, \dots, n$ ). Было взвешено 100 отливок, т.е. объем выборки  $n = 100$ . Требуется построить функцию распределения  $F(x)$  и плотность вероятности  $f(x)$ , а также представить график функции распределения и гистограмму частот.

Таблица 1.1

|      |      |      |      |      |      |      |      |      |      |
|------|------|------|------|------|------|------|------|------|------|
| 5,56 | 5,45 | 5,48 | 5,45 | 5,39 | 5,37 | 5,46 | 5,59 | 5,61 | 5,31 |
| 5,46 | 5,61 | 5,11 | 5,41 | 5,31 | 5,57 | 5,33 | 5,11 | 5,54 | 5,43 |
| 5,34 | 5,53 | 5,46 | 5,41 | 5,48 | 5,39 | 5,11 | 5,42 | 5,48 | 5,49 |
| 5,36 | 5,40 | 5,45 | 5,49 | 5,68 | 5,51 | 5,50 | 5,68 | 5,21 | 5,38 |
| 5,58 | 5,47 | 5,46 | 5,19 | 5,60 | 5,63 | 5,48 | 5,27 | 5,22 | 5,37 |
| 5,33 | 5,49 | 5,50 | 5,54 | 5,40 | 5,58 | 5,42 | 5,29 | 5,05 | 5,79 |
| 5,79 | 5,65 | 5,70 | 5,71 | 5,85 | 5,44 | 5,47 | 5,48 | 5,47 | 5,55 |
| 5,67 | 5,71 | 5,73 | 4,97 | 5,35 | 5,72 | 5,49 | 5,61 | 5,57 | 5,69 |
| 5,54 | 5,39 | 5,32 | 5,21 | 5,73 | 5,59 | 5,38 | 5,25 | 5,26 | 5,81 |
| 5,27 | 5,64 | 5,20 | 5,23 | 5,33 | 5,37 | 5,24 | 5,55 | 5,60 | 5,51 |

### Алгоритм группировки выборки

- 1) Экстремальные значения веса отливок  $x_{\min} = 4,97$ ;  $x_{\max} = 5,85$ ;
- 2) число интервалов группирования  $s = \log_2 n + 1 = 7,62 \approx 8$ ;
- 3) ширина интервала группирования

$$h = (x_{\max} - x_{\min}) / s = (5,85 - 4,97) / 8 = 0,11;$$

- 4) левый ( $c_{j-1}$ ) и правый ( $c_j$ ) концы  $j$ -го интервала:

$$c_{j-1} = x_{\min} + (j-1)h = 4,97 + (j-1) \cdot 0,11;$$

$$c_j = x_{\min} + j \cdot h = 4,97 + j \cdot 0,11, \quad j = 1, 2, \dots, s;$$

- 5) середины интервалов группирования  $x_j^0 = (c_{j-1} + c_j)/2$ ;
- 6) подсчитываем число выборочных данных  $v_j$ , попавших в каждый ( $j$ -й) интервал группирования ( $j = 1, 2, \dots, s$ );
- 7) подсчитываем количество выборочных данных, попавших в  $j$ -й интервал группирования  $h$  ( $v_1 + \dots + v_{jx}$ );
- 8) подсчитываем выборочную функцию распределения

$$F^{(n)}(x) = \frac{v_1 + v_2 + \dots + v_{ix}}{n},$$

где  $ix$  – номер самого правого из интервалов группирования, правый конец которых не превосходит заданного значения  $x$ ;

- 9) посчитываем выборочную функцию плотности:

$$f^{(n)}(x) = \frac{v_{k(x)}}{n \cdot h},$$

в которой  $k(x)$  – порядковый номер интервала группирования, накрывающего заданную точку  $x$ , а  $v_{k(x)}$  – число выборочных данных, попавших в этот интервал;

- 10) результаты группировки сводим в табл. 1.2.

Таблица 1.2

| $j$ – номер интервала группирования | Значения $x$ :<br>$c_{j-1} \leq x < c_j$ | Середины интервалов $x_j^0$ | $v_j$ | $v_1 + \dots + v_{ix}$ | $F^{(n)}(x)$ | $f^{(n)}(x)$ |
|-------------------------------------|--|-----------------------------|-------|------------------------|--------------|--------------|
| 1                                   | $4,97 \leq x < 5,08$                     | 5,03                        | 2     | 0                      | 0,00         | 0,18         |
| 2                                   | $5,08 \leq x < 5,19$                     | 5,14                        | 3     | 2                      | 0,02         | 0,27         |
| 3                                   | $5,19 \leq x < 5,30$                     | 5,25                        | 12    | 5                      | 0,05         | 1,09         |
| 4                                   | $5,30 \leq x < 5,41$                     | 5,36                        | 19    | 17                     | 0,17         | 1,73         |
| 5                                   | $5,41 \leq x < 5,52$                     | 5,47                        | 29    | 36                     | 0,36         | 2,64         |
| 6                                   | $5,52 \leq x < 5,63$                     | 5,58                        | 18    | 65                     | 0,65         | 1,64         |
| 7                                   | $5,63 \leq x < 5,74$                     | 5,69                        | 13    | 83                     | 0,83         | 1,18         |
| 8                                   | $5,74 \leq x < 5,85$                     | 5,80                        | 4     | 96                     | 0,96         | 0,36         |
|                                     | $x \geq 5,85$                            | –                           |       | 100                    | 1,00         | –            |

11) Строим гистограмму (рис. 1.2).

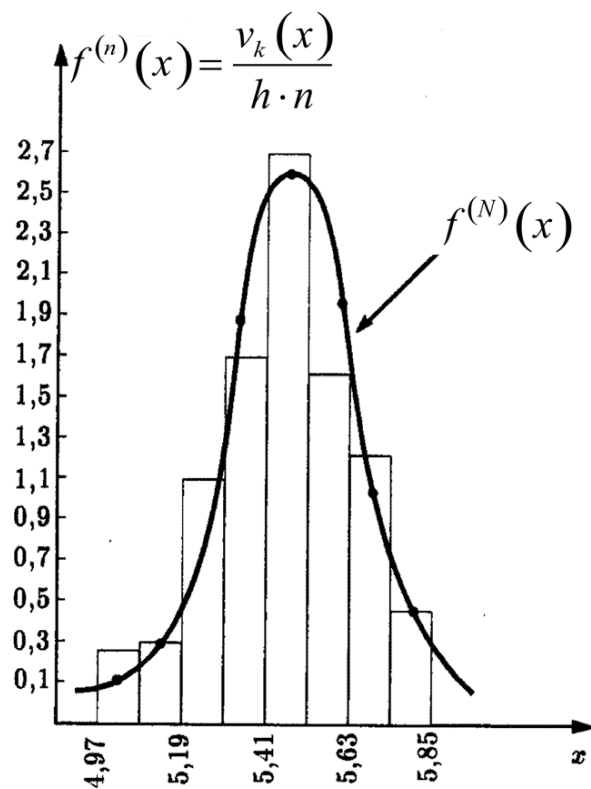


Рис. 1.2. Гистограмма частот

12) Строим функцию распределения (рис. 1.3).

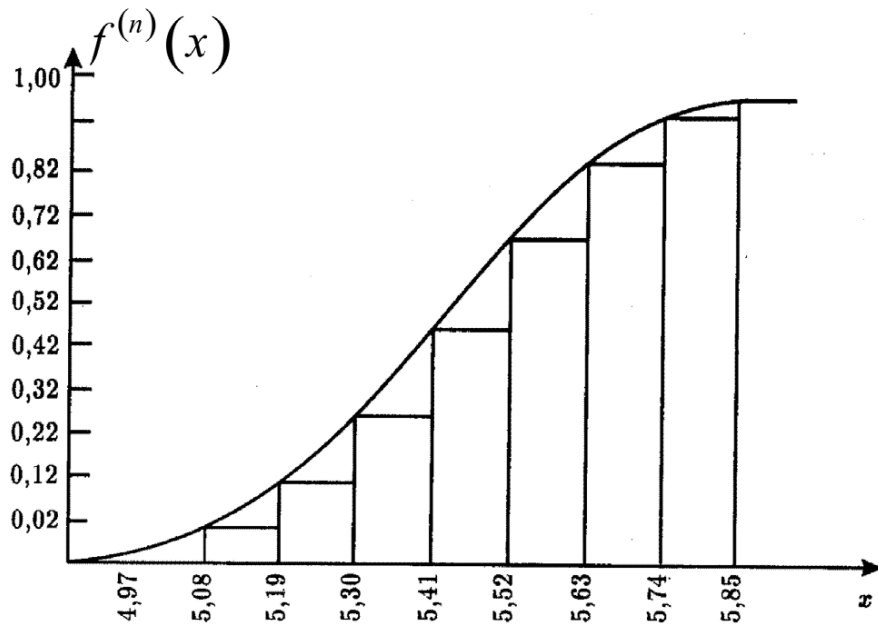


Рис. 1.3. График функции распределения

## Выполнение работы

1. Сформировать из табл. 1.1 массив случайных чисел, пользуясь для своего варианта данными поправок из табл. 1.3. Поправку  $\Delta x$  прибавить к первым пяти строкам и вычесть из последних пяти строк табл. 1.1, например, для варианта 6  $\Delta x = \pm 0,06$ .

Таблица 1.3

| № задания             | 1 | 2 | 3 | 4 | 5 | 6 | 7 | 8 | 9 | 10 | 11 | 12 | 13 | 14 | 15 |
|-----------------------|---|---|---|---|---|---|---|---|---|----|----|----|----|----|----|
| $\Delta x \cdot 10^2$ | 1 | 2 | 3 | 4 | 5 | 6 | 7 | 8 | 9 | 10 | 11 | 12 | 13 | 14 | 15 |

2. Построить гистограмму частот.
3. Построить график функции распределения.
4. Найти для данного распределения моду, математическое ожидание и дисперсию.

## Контрольные вопросы

1. Сформулируйте основные причины появления неопределенностей. Какие из них являются субъективными, а какие – объективными?
2. Как описывается неопределенность математически?
3. Приведите примеры математического описания неопределенностей в металлургии.
4. Когда в задаче математического моделирования применяется стохастическое описание переменных?
5. Дайте определение функции и плотности распределения.
6. Меры положения и рассеяния кривой распределения. Объясните различие между модой, медианой и математическим ожиданием.

## 2. Метод наименьших квадратов для уравнения линейной регрессии

**Цель работы:** ознакомиться с методами обработки массива случайных данных.

**Приборы и принадлежности:** калькулятор.

### Сведения из теории

Целью моделирования любого технологического процесса является установление количественной зависимости выходного параметра от одного или группы *случайных* входных параметров. В функциональной связи  $Y = f(X)$  каждому значению *независимой* переменной  $X$  отвечает одно или *несколько* вполне определенных значений *зависимой* переменной  $Y$ . В этом случае связь между переменными  $X$  и  $Y$  в отличие от функциональной приобретает статистический характер и называется *корреляционной*.

Простейшей и распространенной зависимостью между величинами  $X$  и  $Y$  является *линейная регрессия* (рис. 2.1). Оценка *тесноты* или *силы связи* между величинами  $X$  и  $Y$  осуществляется методами *корреляционного анализа*.

При линейной регрессии от одного параметра для произвольного фиксированного значения  $x$  может быть получено несколько значений  $y$ .

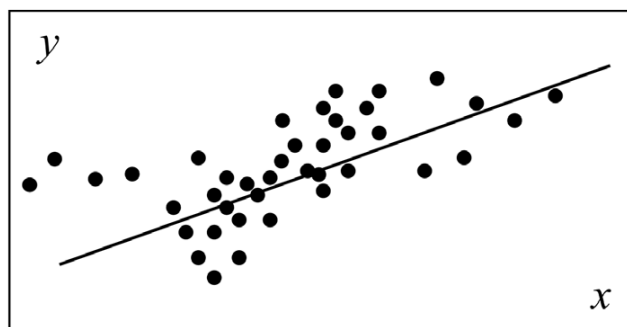


Рис. 2.1. Корреляционное поле зависимости  $y = f(x)$

Для линейной зависимости линия регрессии задается уравнением прямой:

$$y = kx + b, \quad (2.1)$$

неизвестные коэффициенты которой определяются по *методу наименьших квадратов*. В соответствии с этим методом квадрат расстояния по вертикали между опытными точками с координатами  $x_i, y_i$  и соответствующими точками на линии регрессии должно быть минимальным:

$$\sum_{i=1}^n [y_i - (kx_i + b)]^2 = \min. \quad (2.2)$$

Из уравнений для определения неизвестных коэффициентов  $k, b$ :

$$\frac{\partial}{\partial k} \sum_{i=1}^n [y_i - (kx_i + b)]^2 = 0, \quad \frac{\partial}{\partial b} \sum_{i=1}^n [y_i - (kx_i + b)]^2 = 0 \quad (2.3)$$

следует:

$$\sum_{i=1}^n (y_i - kx_i - b)x_i = 0, \quad \sum_{i=1}^n (y_i - kx_i - b) = 0, \quad (2.4)$$

откуда

$$\sum_{i=1}^n y_i x_i = k \sum_{i=1}^n x_i^2 + b \sum_{i=1}^n x_i, \quad \sum_{i=1}^n y_i = k \sum_{i=1}^n x_i + nb. \quad (2.5)$$

С учетом обозначений

$$\bar{x} = \frac{1}{n} \sum_{i=1}^n x_i, \quad \bar{y} = \frac{1}{n} \sum_{i=1}^n y_i, \quad \bar{x^2} = \frac{1}{n} \sum_{i=1}^n x_i^2, \quad \bar{xy} = \frac{1}{n} \sum_{i=1}^n x_i y_i$$

следует

$$b = \bar{y} - k\bar{x}, \quad (2.6)$$

$$k = \frac{\sum_{i=1}^n x_i y_i - \frac{1}{n} \left( \sum_{i=1}^n y_i \sum_{i=1}^n x_i \right)}{\sum_{i=1}^n x_i^2 - \frac{1}{n} \left( \sum_{i=1}^n x_i \right)^2} = \frac{\sum_{i=1}^n (x_i - \bar{x})(y_i - \bar{y})}{\sum_{i=1}^n (x_i - \bar{x})^2}. \quad (2.7)$$

Таким образом, уравнение линейной регрессии принимает вид:

$$y = kx + b = \bar{y} + k(x - \bar{x}). \quad (2.8)$$

### Выполнение работы

1. Построить для своего номера задания линейную зависимость регрессии по семи экспериментальным точкам, заданным в табл. 2.1., результаты промежуточных расчетов представить в форме табл. 2.2.

Таблица 2.1

| № задания | $x_i =$ | 1   | 2   | 3   | 4   | 5   | 6   | 7   |
|-----------|---------|-----|-----|-----|-----|-----|-----|-----|
| 1         | $y_i =$ | 0,5 | 1,8 | 2,6 | 2,7 | 4,2 | 4,0 | 5,9 |
| 2         |         | 0,6 | 1,9 | 2,7 | 2,8 | 4,3 | 4,1 | 6,0 |
| 3         |         | 0,7 | 2,0 | 2,8 | 2,9 | 4,4 | 4,2 | 6,1 |
| 4         |         | 0,7 | 2,1 | 2,9 | 3,0 | 4,5 | 4,3 | 6,2 |
| 5         |         | 0,8 | 2,2 | 3,1 | 3,2 | 4,7 | 4,5 | 6,4 |
| 6         |         | 0,9 | 2,3 | 3,2 | 3,3 | 4,8 | 4,7 | 6,6 |
| 7         |         | 0,9 | 2,4 | 3,3 | 3,4 | 4,9 | 4,8 | 6,8 |
| 8         |         | 1,0 | 2,5 | 3,4 | 3,5 | 5,1 | 5,0 | 7,1 |
| 9         |         | 1,0 | 2,6 | 3,5 | 3,7 | 5,3 | 5,2 | 7,3 |
| 10        |         | 1,1 | 2,7 | 3,7 | 4,0 | 5,6 | 5,6 | 7,7 |
| 11        |         | 1,2 | 2,9 | 3,7 | 4,1 | 5,4 | 5,6 | 7,9 |
| 12        |         | 1,1 | 2,7 | 3,7 | 4,0 | 5,6 | 5,6 | 7,7 |
| 13        |         | 1,1 | 2,8 | 3,9 | 4,3 | 5,9 | 6,0 | 8,1 |
| 14        |         | 1,2 | 2,9 | 4,2 | 4,5 | 6,3 | 6,3 | 8,5 |
| 15        |         | 1,2 | 3,0 | 4,4 | 4,7 | 6,6 | 6,6 | 8,9 |

Таблица 2.2

| $x_i$       | $y_i$       | $x_i - \bar{x}$              | $(x_i - \bar{x})^2$            | $y_i - \bar{y}$              | $(x_i - \bar{x})(y_i - \bar{y})$            |
|-------------|-------------|------------------------------|--------------------------------|------------------------------|---|
| 1           |             |                              |                                |                              |   |
| 2           |             |                              |                                |                              |   |
| $\vdots$    |             |                              |                                |                              |   |
| 7           |             |                              |                                |                              |   |
| $\bar{x} =$ | $\bar{y} =$ | $\sum(x_i - \bar{x}) =$<br>= | $\sum(x_i - \bar{x})^2 =$<br>= | $\sum(y_i - \bar{y}) =$<br>= | $\sum(x_i - \bar{x})(y_i - \bar{y}) =$<br>= |

2. Построить график  $y = f(x)$ , на котором представить экспериментальные точки и линию линейной регрессии. Оценить максимальную относительную погрешность отклонения экспериментальной точки от линии регрессии.

### Контрольные вопросы

1. Что такое корреляционное поле, линии регрессии?
2. Метод наименьших квадратов для получения уравнения линейной регрессии.
3. Коэффициент корреляции, его смысл.

### 3. Метод прогонки решения сеточных уравнений

**Цель работы:** ознакомиться с прямым методом решения сеточных уравнений на компьютере.

**Приборы и принадлежности:** компьютер.

#### Сведения из теории

Метод прогонки является модификацией метода исключения Гаусса. В соответствии с этим методом решение для системы линейных алгебраических уравнений

$$AT_{i-1} + BT_i + CT_{i+1} = F_i, \quad i = 2, 3, \dots, N, \quad (3.1)$$

ищется в виде линейной функции

$$T_i = \beta_{i+1} T_{i+1} + z_{i+1}, \quad (3.2)$$

неизвестные коэффициенты которой определяются из соотношений:

$$\beta_{i+1} = -\frac{C}{A\beta_i + B}; \quad z_{i+1} = -\frac{Az_i - F_i}{A\beta_i + B}. \quad (3.3)$$

Формулы (3.1–3.3) дают процедуру решения. Сначала при  $i = 2, 3, \dots, N$  считаются прогоночные коэффициенты (3.3), при этом начальные значения прогоночных коэффициентов  $\beta_2, z_2$  определяются из граничных условий на левой границе ( $i = 1$ ). Эта операция называется прямой прогонкой. После определения всех  $\beta_i, z_i$  в обратном направлении ( $i = N, N-1, \dots, 2$ ) с учетом значения параметра  $T_{N+1}$ , найденных из граничного условия на правой границе ( $i = N + 1$ ), по формуле (3.2) последовательно находятся неизвестные значения  $T_i$  в узловых точках сетки.

При решении задачи стационарной теплопроводности плоского слоя на поверхностях задаются граничные условия конвективного теплообмена:

$$\pm \lambda \frac{\partial T}{\partial x} = \alpha (T_{\text{п}} - T_{\text{c}}), \quad (3.4)$$

где  $\lambda$  – коэффициент теплопроводности;  $\alpha$  – коэффициент теплоотдачи;  $T_{\text{п}}, T_{\text{c}}$  – соответственно температуры поверхности и окружающей среды; знаки (+) и (-) соответственно для левой ( $i = 0$ ) и правой ( $i = N$ ) границ;  $N$  – число разбиений сетки по толщине плоского слоя. Тогда начальные значения прогоночных коэффициентов принимают вид:

$$\beta_1 = \frac{\frac{\lambda}{\alpha h}}{1 + \frac{\lambda}{\alpha h}}, \quad z_1 = \frac{T_{\text{c}}}{1 + \frac{\lambda}{\alpha h}}. \quad (3.5)$$

Значение температуры на правой границе;

$$T_N = \frac{\frac{\lambda}{\alpha h} z_N + T_{\text{c}}}{1 + \frac{\lambda}{\alpha h} (1 - \beta_N)}. \quad (3.6)$$

Алгоритм метода прогонки:

$$\left. \begin{aligned} \beta_1 &= \frac{\frac{\lambda}{\alpha h}}{1 + \frac{\lambda}{\alpha h}}, & z_1 &= \frac{T_{\text{c}}}{1 + \frac{\lambda}{\alpha h}}; \\ \beta_{i+1} &= -\frac{C}{A\beta_i + B}; & z_{i+1} &= -\frac{Az_i - F_i}{A\beta_i + B}, \\ i &= 1, 2, \dots, N-1; \\ T_N &= \frac{\frac{\lambda}{\alpha h} z_N + T_{\text{c}}}{1 + \frac{\lambda}{\alpha h} (1 - \beta_N)}; \\ T_i &= \beta_{i+1} T_{i+1} + z_{i+1}, \\ i &= N-1, N-2, \dots, 0. \end{aligned} \right\}. \quad (3.7)$$

Пример Паскаль-программы, реализующей решение стационарного уравнения теплопроводности методом прогонки.

```

program Example_3;
const n = 10;
      h = 1/n;
var T: array [0..n] of real;
    beta,zeta : array [1..n] of real;
    aa,bb,cc,ff : real;
    T1,T2,alpha1,alpha2,lambda,lah : real;
    i : integer;
begin
{1. Ввод исходных данных}
  T1:= 100;                      {температура левого конца}
  T2:= 200;                      {температура правого конца}
  alpha1:=10e10;                  {большие коэффициенты теплоотдачи}
  alpha2:=10e10;                  {обеспечат изотермические границы}
  lambda:=20;

{2. Рабочий блок}
  aa := -1;
  bb := 2;
  cc := -1;
  ff := 0;
  {Прямой ход прогонки}
  lah:= lambda / alpha1 / h;
  beta[1]:= lah/(1. + lah);
  zeta[1]:= T1/(1. + lah);
  for i:=1 to n-1 do
  begin
    beta[i+1]:= -cc/(aa*beta[i] + bb);
    zeta[i+1]:= (ff-aa*zeta[i])/(aa*beta[i] + bb);
  end;
  {Обратный ход прогонки}
  lah:= lambda / alpha2 / h;
  T[n]:= (lah*zeta[n] + T2)/(1. + lah*(1-beta[n]));
  for i:=n-1 downto 0 do
  T[i]:=beta[i+1]*T[i+1]+ zeta[i+1];

{3. Вывод результата}
  i:=0;
  repeat
    writeln(i,' ',T[i]:8:3);
    i:=i+2;
  until i> n;
end.

```

В качестве теста для проверки программы предлагается задача стационарной теплопроводности плоского слоя толщиной  $\delta$ , на поверхностях которого  $x = 0$  и  $x = \delta$  поддерживаются температуры соответственно  $T_{\text{л}}$  и  $T_{\text{п}}$ , т.е. заданы граничные условия первого рода ( $\alpha = \infty$ ). Математическая формулировка краевой задачи теплопроводности имеет вид

$$\frac{d^2T}{dx^2} = 0, \quad T(x=0) = T_{\text{л}}, \quad T(x=\delta) = T_{\text{п}}. \quad (3.8)$$

Решением ее является линейное распределение температуры:

$$T = T_{\text{л}} - \frac{T_{\text{п}} - T_{\text{л}}}{\delta} x. \quad (3.9)$$

Точное значение температуры в центре слоя  $T(x = \delta/2) = (T_{\text{л}} + T_{\text{п}})/2$ .

Решение задачи на регулярной сетке дает систему уравнений с граничными условиями:

$$\left. \begin{aligned} & T_{i-1} - 2T_i + T_{i+1} = 0, \\ & i = 2, 3, \dots, N; \\ & T_1 = T_{\text{л}}; \quad T_{N+1} = T_{\text{п}} \end{aligned} \right\}. \quad (3.10)$$

В этом случае при численном решении на регулярной сетке с четным числом разбиений  $N$  точное значение температуры в центре слоя  $T_{N/2+1} = (T_{\text{л}} + T_{\text{п}})/2$ , а приближенное значение отличается от точного из-за ошибок округления при вычислении прогоночных коэффициентов.

Алгоритм прогонки (3.7) реализуется для этой системы при  $N = 4$ ,  $T_{\text{л}} = 100$ ,  $T_{\text{п}} = 200$ ,  $A = C = 1$ ,  $B = -2$  следующим образом:

$$\beta_1 = \frac{\lambda}{\frac{\alpha h}{1 + \frac{\lambda}{\alpha h}}} = 0; \quad z_1 = \frac{T_{\text{п}}}{1 + \frac{\lambda}{\alpha h}} = 100;$$

$$\beta_2 = -\frac{C}{A\beta_1 + B} = -\frac{1}{1 \cdot 0 - 2} = \frac{1}{2};$$

$$z_2 = -\frac{Az_1 - F_1}{A\beta_1 + B} = -\frac{1 \cdot 100 - 0}{1 \cdot 0 - 2} = 50; \beta_3 = -\frac{C}{A\beta_2 + B} = -\frac{1}{1 \cdot 1/2 - 2} = \frac{2}{3};$$

$$z_3 = -\frac{Az_2 - F_2}{A\beta_2 + B} = -\frac{1 \cdot 50 - 0}{-3/2} = \frac{100}{3};$$

$$\beta_4 = -\frac{C}{A\beta_3 + B} = -\frac{1}{1 \cdot 2/3 - 2} = \frac{3}{4};$$

$$z_4 = -\frac{Az_3 - F_3}{A\beta_3 + B} = -\frac{1 \cdot 100/3 - 0}{1 \cdot 2/3 - 2} = 25;$$

$$T_4 = \frac{\frac{\lambda}{\alpha h} z_5 + T_{\text{c}}}{1 + \frac{\lambda}{\alpha h} (1 - \beta_5)} = T_{\text{п}} = 200;$$

$$T_3 = \beta_4 T_4 + z_4 = \frac{3}{4} \cdot 200 + 25 = 175;$$

$$T_2 = \beta_3 T_3 + z_3 = \frac{2}{3} \cdot 175 + \frac{100}{3} = 150;$$

$$T_1 = \beta_2 T_2 + z_2 = \frac{1}{2} \cdot 150 + 50 = 125; T_0 = T_{\text{п}} = 100.$$

### Выполнение работы

Ввести в программу исходные данные:  $T_{\text{л}} = 0$  и  $T_{\text{п}}$  в соответствии с табл. 3.1

Таблица 3.1

| № задания      | 1  | 2  | 3  | 4  | 5  | 6  | 7  | 8  | 9  | 10  | 11  | 12  | 13  | 14  | 15  |
|----------------|----|----|----|----|----|----|----|----|----|-----|-----|-----|-----|-----|-----|
| $T_{\text{п}}$ | 10 | 20 | 30 | 40 | 50 | 60 | 70 | 80 | 90 | 100 | 110 | 120 | 130 | 140 | 150 |

2. Проверить работоспособность алгоритма метода прогонки, т.е. просчитать «вручную» температуры в узловых точках сетки при  $N = 4$ .

3. Определить относительную погрешность в центральной точке слоя численного  $T_{N/2+1}$  и аналитического  $T(x = \delta/2) = (T_{\text{л}} + T_{\text{п}})/2 \equiv T_{\text{п}}/2$  решений по формуле:

$$R = \left| \frac{T_{N/2+1} - T_{x=\delta/2}}{T_{x=\delta/2}} \right| \cdot 100 \% = \left| \frac{2T_{N/2+1}}{T_{\text{п}}} - 1 \right| \cdot 100 \% .$$

4. Провести вычислительный эксперимент на сгущающейся сетке, построить график зависимости  $R(N)$  и определить, при каких числах разбиений  $N$  погрешность округления  $R$  вычисления прогоночных коэффициентов начинает превышать 5 %.

5. Внести корректизы в программу, предусмотрев в ней расчет прогоночных коэффициентов (3.3) с двойной точностью. Провести вычислительный эксперимент на сгущающейся сетке, построить график зависимости  $R(N)$  и убедиться на графике в эффективности этой корректизы.

### **Контрольные вопросы**

1. Конечно-разностное представление первой и второй производных.
2. Явная и неявная схемы аппроксимации уравнения теплопроводности.
3. Оценка ошибок аппроксимации уравнения теплопроводности.
4. Соотношение между временным и пространственным шагами сетки, обеспечивающее минимальную ошибку аппроксимации уравнения теплопроводности.
5. Векторно-матричное представление сеточных уравнений.
6. Метод прогонки решения матричных уравнений и его реализация на компьютере.
7. Запись основных операторов программирования на языке Паскаль.

#### 4. Метод последовательной линейной верхней релаксации решения сеточных уравнений

**Цель работы:** ознакомиться с итерационным методом решения сеточных уравнений на компьютере.

**Приборы и принадлежности:** компьютер.

#### Сведения из теории

Итерационные методы дают решение сеточных уравнений в виде предела последовательности однообразных итераций. Основное их преимущество перед прямыми методами заключается в самокорректирующемся решении, дающем минимальные ошибки округления. Привлекает в них и простота вычислительного алгоритма.

**Решение системы линейных алгебраических уравнений**

$$AT_{i-1} + BT_i + CT_{i+1} = F_i, \quad i = 2, 3, \dots, N \quad (4.1)$$

в соответствии с итерационным методом последовательных смещений (методом Зейделя) определяется по итерационной процедуре:

$$\begin{aligned} T_i^{(q)} &= \frac{1}{B} \left( F_i - A \cdot T_{i-1}^{(q)} - C \cdot T_{i+1}^{(q-1)} \right), \\ i &= 2, 3, \dots, N, \quad q = 1, 2, 3, \dots, \end{aligned} \quad (4.2)$$

где  $q$  – номер итерации. Расчет по формуле (4.2) продолжается до тех пор, пока искомое решение не будет удовлетворять требуемой наперед заданной точности  $\varepsilon$ :

$$\left| 1 - \frac{T_i^{(q-1)}}{T_i^{(q)}} \right|_{\max} \leq \varepsilon . \quad (4.3)$$

Недостатком метода Зейделя является медленная сходимость, поэтому для ускорения сходимости метод последовательной линейной верхней релаксации:

$$T_i^{(q)} = \frac{\gamma}{B} \left( F_i - A \cdot T_{i-1}^{(q)} - C \cdot T_{i+1}^{(q-1)} \right) + (1-\gamma) \cdot T_i^{(q-1)},$$

$$i = 1, \dots, N-1, q = 1, 2, \dots, \quad (4.4)$$

где  $\gamma$  – параметр релаксации. При  $\gamma=1$  итерационные процедуры (4.2) и (4.4) совпадают. Введение параметра верхней релаксации  $1 \leq \gamma \leq 2$  позволяет ускорить сходимость итерационного процесса (4.4), причем наибольшая скорость сходимости имеет место при оптимальном значении параметра релаксации  $\gamma = \gamma_{\text{опт}}$ . Последнее зависит от порядка системы и может быть вычислено в области с регулярной сеткой с числом разбиений  $N$  по формуле:

$$\gamma_{\text{опт}} = \frac{2}{1 + \sqrt{\sin \frac{\pi}{2N} \left( 2 - \sin \frac{\pi}{2N} \right)}}, \quad (4.5)$$

где  $\varepsilon$  – требуемая точность.

В качестве теста для проверки программы предлагается задача стационарной теплопроводности плоского слоя толщиной  $\delta$ , на поверхностях которого  $x = 0$  и  $x = \delta$  поддерживаются температуры соответственно  $T_{\text{л}}$  и  $T_{\text{п}}$ , т.е. заданы граничные условия первого рода ( $\alpha = \infty$ ). Математическая формулировка краевой задачи теплопроводности имеет вид:

$$\frac{d^2 T}{dx^2} = 0, \quad T(x=0) = T_{\text{л}}, \quad T(x=\delta) = T_{\text{п}}. \quad (4.6)$$

Решением ее является линейное распределение температуры:

$$T = T_{\text{л}} - \frac{T_{\text{л}} - T_{\text{п}}}{\delta} x. \quad (4.7)$$

Точное значение температуры в центре слоя  $T(x = \delta/2) = (T_{\text{л}} + T_{\text{п}})/2$ .

Решение задачи на регулярной сетке дает систему уравнений с граничными условиями:

$$\left. \begin{aligned} & T_{i-1} - 2T_i + T_{i+1} = 0, \\ & i = 1, 2, \dots, N-1; \\ & T_1 = T_{\text{л}}; \quad T_{N+1} = T_{\text{п}} \end{aligned} \right\}. \quad (4.8)$$

В этом случае при численном решении на регулярной сетке с четным числом разбиений  $N$  точное значение температуры в центре слоя  $T_{N/2+1} = (T_{\text{л}} + T_{\text{п}})/2$ , а приближенное значение отличается от точного из-за ошибок округления.

В табл. 4.1 представлена реализация итерационного алгоритма при  $N = 4$ ,  $T_{\text{л}} = 200$ ,  $T_{\text{п}} = 100$ ,  $A = C = 1$ ,  $B = -2$ ,  $\gamma = 1$  для первых пяти итераций.

Таблица 4.1

Значения переменных при решении задачи  
итерационным методом

| Номер итерации           | Номер точки сетки $i$ |        |        |         |     |
|--------------------------|-----------------------|--------|--------|---------|-----|
|                          | 1                     | 2      | 3      | 4       | 5   |
| 0                        | 0                     | 0      | 0      | 0       | 0   |
| 1                        | 200                   | 100    | 50     | 75      | 100 |
| 2                        | 200                   | 125    | 100    | 100     | 100 |
| 3                        | 200                   | 150    | 125    | 112,5   | 100 |
| 4                        | 200                   | 162,5  | 137,5  | 118,75  | 100 |
| 5                        | 200                   | 168,75 | 143,75 | 121,875 | 100 |
| ...<br>точное<br>решение | 200                   | 175    | 150    | 125     | 100 |

Относительная ошибка в точке  $i = 2$ :  $1 - T_1^{(4)} / T_1^{(5)} = 1 - 162,5 / 168,75 = 0,037$ , что составляет 3,7 %, это далеко от требуемой точности, которую выбирают в пределах  $\epsilon = 10^{-3} \dots 10^{-4}$ , поэтому итерационный процесс необходимо продолжить.

Пример Паскаль-программы, реализующей метод последовательной линейной верхней релаксации.

```

program Example_4;
const n = 4;
      h = 1/n;
      pi = 3.141592654;
      epsilon = 1e-3;
      gamma = 2/(1+sqrt(sin(pi/2/n*(2-sin(pi/2/n)))));
var T,Tx: array [0..n] of real;
      aa,bb,cc,ff,delta : real;
      i,iter : integer;
begin
{1. Ввод исходных данных}
  for i:=0 to n-1 do T[i]:= 100;
  T[n]:= 200;
  Tx[0]:=T[0];
  Tx[n]:=T[n];
{2. Рабочий блок}
  aa := 1;
  bb := -2;
  cc := 1;
  ff := 0;
  {Релаксация}
  iter:=1;
  repeat
    delta:=0;
    for i:=1 to n-1 do
    begin
      Tx[i]:= gamma/bb*(ff-aa*Tx[i-1]-
                           cc*T[i+1])+(1-gamma)*T[i];
      if abs(1-T[i]/Tx[i]) > delta
      then delta:=abs(1-T[i]/Tx[i]);
    end;
    T := Tx;
    iter := iter + 1
  until (delta < epsilon) or (iter > 100);

{3. Вывод результата}
  i:=0;
  repeat
    writeln(i,' ',T[i]:8:3,T[i]:8:3);
    i:=i+2;
  until i > n;
  writeln(iter);
end.

```

## Выполнение работы

1. Ввести в программу исходные данные:  $T_{\text{л}} = 0$  и  $T_{\text{п}}$  в соответствии с табл. 4.2

Таблица 4.2

| № задания      | 1  | 2  | 3  | 4  | 5  | 6  | 7  | 8  | 9  | 10  | 11  | 12  | 13  | 14  | 15  |
|----------------|----|----|----|----|----|----|----|----|----|-----|-----|-----|-----|-----|-----|
| $T_{\text{п}}$ | 10 | 20 | 30 | 40 | 50 | 60 | 70 | 80 | 90 | 100 | 110 | 120 | 130 | 140 | 150 |

2. Проверить работоспособность алгоритма метода последовательной линейной верхней релаксации, т.е. просчитать «вручную» температуры в узловых точках сетки при  $N = 4$  на первых пяти итерациях.

3. Определить относительную погрешность в центральной точке слоя численного  $T_{N/2+1}$  и аналитического  $T(x=\delta/2) = (T_{\text{л}} + T_{\text{п}})/2 \equiv T_{\text{п}}/2$  решений по формуле:

$$R = \left| \frac{T_{N/2+1} - T_{x=\delta/2}}{T_{x=\delta/2}} \right| \cdot 100 \% = \left| \frac{2T_{N/2+1}}{T_{\text{п}}} - 1 \right| \cdot 100 \% .$$

4. Провести вычислительный эксперимент на сгущающейся сетке при фиксированной погрешности  $\varepsilon = 10^{-3}$ , построить график зависимости  $R(N)$ .

5. При фиксированной сетке ( $N$ ) и наперед заданной погрешности ( $\varepsilon$ ) провести расчеты с варьированием параметра релаксации в интервале  $1 < \gamma < 2$ , построить график зависимости  $q(\gamma)$ .

### Контрольные вопросы

1. Оценка ошибок аппроксимации уравнения теплопроводности.
2. Соотношение между временным и пространственным шагами сетки, обеспечивающее минимальную ошибку аппроксимации уравнения теплопроводности.
3. Векторно-матричное представление сеточных уравнений.
4. Метод последовательной линейной верхней релаксации и его реализация на компьютере.
5. Запись основных операторов программирования на языке Паскаль.

## 5. Расчет времени охлаждения плоского слоя

**Цель работы:** ознакомиться с численным методом решения задач нестационарной теплопроводности.

**Приборы и принадлежности:** компьютер.

### Сведения из теории

При охлаждении плоского слоя толщиной  $2\delta$  рассматривается половина слоя толщиной  $\delta$  с адиабатной левой и охлаждаемой правой поверхностями. Математическая формулировка краевой задачи нестационарной теплопроводности имеет вид:

$$\frac{\partial T}{\partial \tau} = a \frac{\partial^2 T}{\partial x^2}, \quad (5.1)$$

$$T(\tau=0) = T_0, \quad \left. \frac{\partial T}{\partial x} \right|_{x=0} = 0, \quad -\lambda \left. \frac{\partial T}{\partial x} \right|_{x=\delta} = \alpha (T_n - T_c), \quad (5.2)$$

где  $T$  – температура;  $\tau$  – время;  $a$  – коэффициент температуропроводности;  $\lambda$  – коэффициент теплопроводности;  $\alpha$  – коэффициент теплоотдачи;  $T_n$ ,  $T_c$  – температуры поверхности и окружающей среды.

В частном случае, в соответствии с методом регулярного теплового режима пренебрегают внутренним тепловым сопротивлением по сравнению с внешним. Решение задачи (5.1–5.2) принимает вид

$$\theta = \theta_0 e^{-Bi \cdot Fo}, \quad (5.3)$$

где  $\theta = T - T_c$  – избыточная температура;  $Bi = \alpha \cdot \delta / \lambda$ ,  $Fo = a \cdot \tau / \delta^2$  – числа Био и Фурье. На практике решение (5.3) используется уже при  $Bi < 0,1$ .

Для численного решения задачи на расчетную область наносится регулярная сетка с координатами узлов:

$$x_i = i h_x; \quad i = 0, 1, 2, \dots, N; \quad h_x = \frac{H_x}{N}; \\ \tau_k = k h_\tau; \quad k = 1, 2, 3, \dots, \quad (5.4)$$

где  $N$  – число разбиений по толщине слоя  $\delta$ ;  $h_x, h_\tau$  – соответственно шаги пространственной (по  $x$ ) и временной (по  $\tau$ ) сеток;  $i, k$  – номера узловых точек в направлении координат  $x, \tau$ .

Уравнение теплопроводности (5.1) может быть представлено в дискретном виде по явной схеме, в соответствии с которой вторая производная по координате записывается на текущем  $k$ -м временном слое с известным распределением температуры (рис. 5.1). В результате из аппроксимации уравнения (5.1)

$$\begin{aligned} \frac{T_{i,k+1} - T_{i,k}}{h_\tau} &= \\ &= a \frac{T_{i+1,k} - 2T_{i,k} + T_{i-1,k}}{h_x^2}, \end{aligned} \quad (5.5)$$

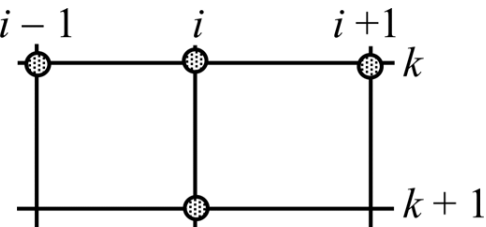


Рис. 5.1. Сеточный шаблон явной схемы 1-го порядка точности

получается явная формула для температуры:

$$T_{i,k+1} = T_{i,k} \left( 1 - \frac{2ah_\tau}{h_x^2} \right) + \frac{ah_\tau}{h_x^2} (T_{i+1,k} + T_{i-1,k}), \quad (5.6)$$

вычисления по которой устойчивы при следующем ограничении на шаг сетки по времени.

$$h_\tau < h_x^2 / (2a). \quad (5.7)$$

При неявной схеме вторая производная по координате записывается на «новом»  $k$ -м временном слое с неизвестным распределением температуры (рис. 5.2):

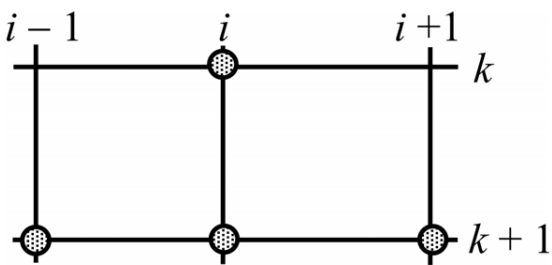


Рис. 5.2. Сеточный шаблон неявной схемы 1-го порядка точности

$$\frac{T_{i,k+1} - T_{i,k}}{h_\tau} = a \frac{T_{i+1,k+1} - 2T_{i,k+1} + T_{i-1,k+1}}{h_x^2}. \quad (5.8)$$

В результате получаем систему уравнений  $(N-1)$ -го порядка:

$$A T_{i-1,k} + B T_{i,k} + C T_{i+1,k} = F_i, \quad i=1, 2, \dots, N-1, \quad (5.9)$$

$$\text{где } A = C = -\frac{ah_\tau}{h_x^2}; \quad B = 1 + \frac{2ah_\tau}{h_x^2}; \quad F_i = T_{i,k}.$$

Схема абсолютно устойчива при больших, чем в ограничении (5.7), шагах по времени, однако с увеличением шага по времени возрастают ошибки аппроксимации.

С применением формулы односторонней разности записывается граничное условие (5.2) при  $x = \delta$ :

$$-\lambda \frac{T_N - T_{N-1}}{h_x} = \alpha(T_N - T_C), \quad (5.10)$$

из которого определяется температура на поверхности тела:

$$T_N = -\frac{T_C + \frac{\lambda}{\alpha h_x} T_{N-1}}{1 + \frac{\lambda}{\alpha h_x}}, \quad (5.11)$$

а также граничное условие при  $x = 0$

$$T_0 = T_1. \quad (5.12)$$

Алгоритм решения задачи по явной схеме представлен на рис. 5.3.

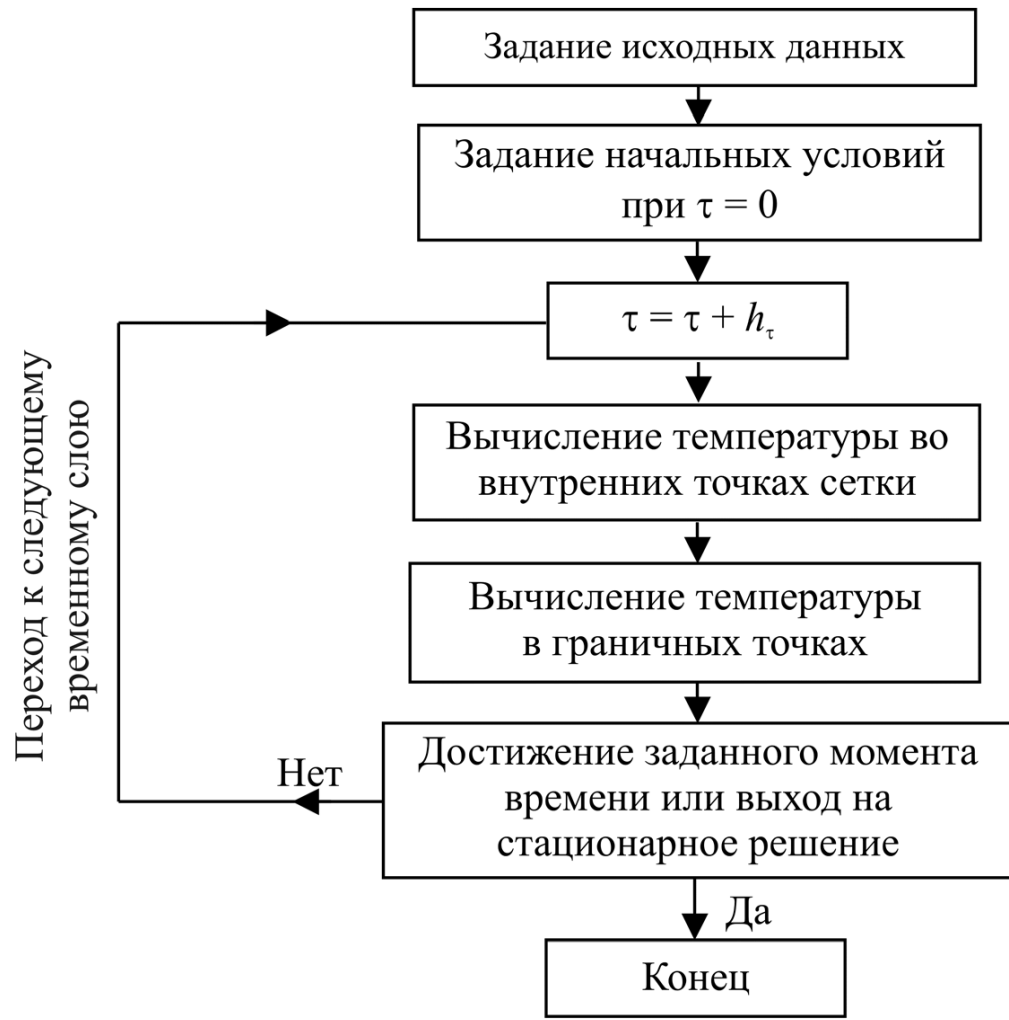


Рис. 5.3. Алгоритм решения задачи теплопроводности по явной схеме

Пример Паскаль-программы, реализующей расчет времени охлаждения плоского слоя по явной схеме.

```

program Example_5_1;
const n = 10;
      lx = 0.1;
      hx = lx/n;
      epsilon = 1e-6;
var T,TT: array [0..n] of real;
     Tstart,Tc1,Tc2,a,lambda,rho,cp,delta,tau,htau,aht:real;
     i : integer;
procedure PrintArray;
begin
     i:=0;
repeat
     writeln(i,' ',T[i]:8:3);
     i:=i+2;
until i> n;
    
```

```

end;
begin
{1. Ввод исходных данных}
    Tc1:= 100;
    Tc2:= 200;
    Tstart :=100;
    lambda:=20;
    rho:=7800;
    cp:=500;
    a:=lambda/cp/rho;
    for i:=0 to n do T[i]:= Tstart;
    tau := 0;
    htau := sqr(hx)/6/a;
    aht:=a*htau/sqr(hx);
{2. Рабочий блок}
    TT[0]:=Tc1;
    TT[n]:=Tc2;
    repeat
        {2.1. Определение температуры
         на следующем временном слое}
        tau:=tau + htau;
        for i:=1 to n-1 do
            TT[i]:=T[i]*(1-2*aht)+(T[i-1]+T[i+1])*aht;
        {2.2 Определение различия решений
         на k-ом и k+1-ом временных слоях}
        delta := 0;
        for i:=0 to n do
            if abs(T[i]-TT[i])>delta
                then delta := abs(T[i]-TT[i]);
        T := TT;
        until delta <= epsilon;
{3. Вывод результата}
    writeln('Время установления стационара:',tau);
    writeln('Распределение температуры по слою');
    PrintArray;
end.

```

Алгоритм решения задачи по неявной схеме представлен на рис. 5.4.

Пример Паскаль-программы, реализующей расчет времени охлаждения плоского слоя по неявной схеме.

```

program Example_5_2;
const n = 10;
      hx = 0.1/n;
      epsilon = 1e-6;
var T,TT: array [0..n] of real;
     beta,zeta : array [1..n] of real;
     aa,bb,cc,ff : real;
     Tstart,Tc1,Tc2,alpha1,alpha2,lah : real;
     a,lambda,rho,cp :real;
     delta, tau, htau : real;

```

```

i : integer;

procedure PrintArray;
begin
    i:=0;
    repeat
        writeln(i,' ',T[i]:8:3);
        i:=i+2;
    until i > n;
end;

begin
{1. Ввод исходных данных}
    Tc1:= 100;
    Tc2:= 200;
    Tstart :=100;
    alpha1:=10e-10;
    alpha2:=10e10;
    lambda:=20;
    rho:=7800;
    cp:=500;
    a:=lambda/cp/rho;
    for i:=0 to n do TT[i]:= Tstart;
    tau := 0;
    htau := sqr(hx)/6/a;

{2. Рабочий блок}
    aa := -a*htau/sqr(hx);
    bb := 1 + 2*a*htau/sqr(hx);
    cc := -a*htau/sqr(hx);
    repeat
        {2.1. Определение температуры
        на следующем временном слое}
        {Прямой ход прогонки}
        tau:=tau + htau;
        lah:= lambda / alpha1 / hx;
        beta[1]:= lah/(1. + lah);
        zeta[1]:= Tc1/(1. + lah);
        for i:=1 to n-1 do
            begin
                ff := TT[i];
                beta[i+1]:= -cc/(aa*beta[i] + bb);
                zeta[i+1]:= (ff-
aa*zeta[i])/(aa*beta[i]+bb);
            end;
        {Обратный ход прогонки}
        lah:= lambda / alpha2 / hx;
        T[n]:= (lah*zeta[n] + Tc2)/(1. + lah*(1-
beta[n]));
        for i:=n-1 downto 0 do
            T[i]:= beta[i+1]*T[i+1] + zeta[i+1];
{2.2. Определение различия решений
на k-ом и k+1-ом временных слоях}

```

```

delta := 0;
for i:=0 to n do
  if abs(T[i]-TT[i])>delta
    then delta := abs(T[i]-TT[i]);
    for i:=0 to n do TT[i]:=T[i];
until delta <= epsilon;

{3. Вывод результата}
writeln('Результаты расчёта');
writeln('Время установления стационара:', tau);
writeln('Распределение температуры по слою');
PrintArray;
end.

```

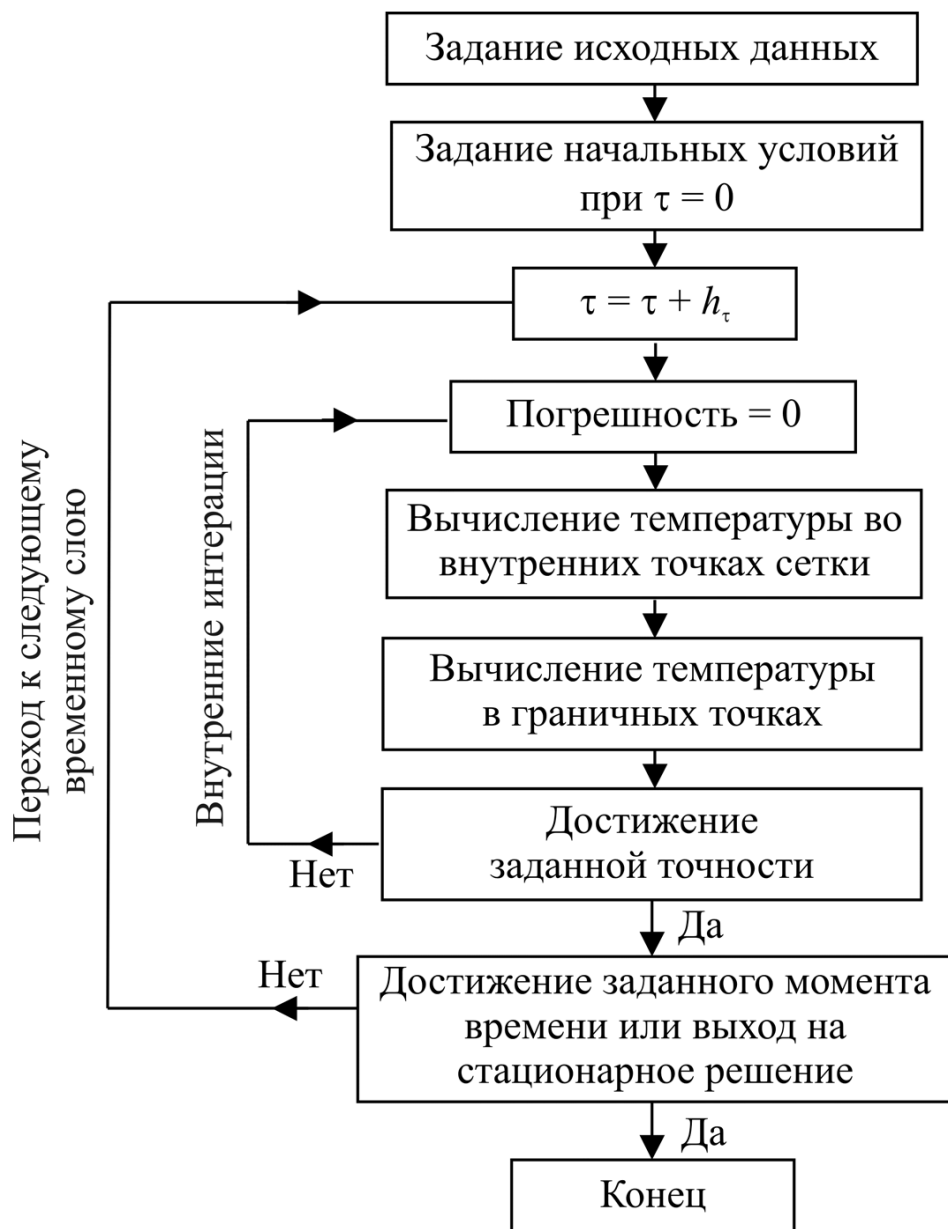


Рис. 5.4. Алгоритм решения задачи теплопроводности по неявной схеме

## Выполнение работы

1. Составить Паскаль-программу расчета времени охлаждения плоского слоя по явной и неявной схемам.
2. Ввести в программу исходные данные: полутолщину слоя  $\delta = 2$  см; температуру окружающей среды  $T_c = 0$  °C, теплофизические свойства стали: коэффициент теплопроводности  $\lambda = 50$  Вт/(м·К), коэффициент температуропроводности  $a = 1,4 \cdot 10^{-5}$  м<sup>2</sup>/с, коэффициент теплоотдачи и начальную температуру слоя в соответствии с табл. 5.1

Таблица 5.1

| № задания                                     | 1  | 2  | 3  | 4  | 5  | 6  | 7  | 8  | 9  | 10 | 11 | 12 | 13 | 14 | 15 |
|---|----|----|----|----|----|----|----|----|----|----|----|----|----|----|----|
| $\alpha \cdot 10^{-1}$ Вт/(м <sup>2</sup> ·К) | 20 | 21 | 22 | 23 | 24 | 25 | 26 | 27 | 28 | 29 | 30 | 31 | 32 | 33 | 34 |
| $T_0 \cdot 10^{-1}$ °C                        | 50 | 52 | 54 | 56 | 58 | 60 | 62 | 64 | 66 | 68 | 70 | 72 | 74 | 76 | 78 |

3. Определить по методу регулярного теплового режима время охлаждения слоя ( $\tau_k$ ) до температуры, отличающейся от температуры окружающей среды на 1 %. Построить график зависимости  $T(\tau)$  (аналитическое решение).

4. Провести вычислительный эксперимент по явной схеме на сгущающейся пространственной сетке (шаг временной сетки выбирать равным  $h_\tau = 0,9 \cdot h_x^2 / (2a)$ ) и определить число разбиений  $N$  построением на графике зависимостей  $T(0,\tau)$  при различных числах  $N$ . Сравнить времена охлаждения, полученные аналитическим и численным методами на различных сетках. Построить (при выбранном  $N$ ) график зависимости  $T(x)$  для четырех-пяти моментов времени в интервале  $0 < \tau < \tau_k$ .

5. Вычислительным экспериментом при выбранном числе  $N$  провести сравнительный анализ эффективности явной и неявной схем (в неявной схеме шаг временной сетки увеличивать по сравнению с шагом в п. 4). Сравнение провести по времени счета одного варианта, обеспечивающего примерно одинаковую погрешность, оцениваемую по графику зависимости  $T(0,\tau)$ .

## **Контрольные вопросы**

1. Конечно-разностное представление первой и второй производных.
2. Явная и неявная схемы аппроксимации уравнения теплопроводности.
3. Оценка ошибок аппроксимации уравнения теплопроводности.
4. Соотношение между временным и пространственным шагами сетки, обеспечивающее минимальную ошибку аппроксимации уравнения теплопроводности.
5. Аппроксимация граничных условий теплообмена по формулам первого и второго порядков точности.
6. Векторно-матричное представление сеточных уравнений.
7. Запись основных операторов программирования на языке Паскаль.

## 6. Расчет времени охлаждения блюма

**Цель работы:** ознакомиться с численным методом решения двумерных задач нестационарной теплопроводности.

**Приборы и принадлежности:** компьютер.

### Сведения из теории

Охлаждение бруса квадратного сечения (блюмса) размерами  $2\delta \cdot 2\delta$  симметрично относительно осей координат, выбранных в центре бруса. Поэтому рассматривается четверть сечения бруса с охлаждаемой поверхностью и адиабатными осями симметрии (рис. 6.1). Математическая формулировка краевой задачи нестационарной теплопроводности в этом случае имеет вид:

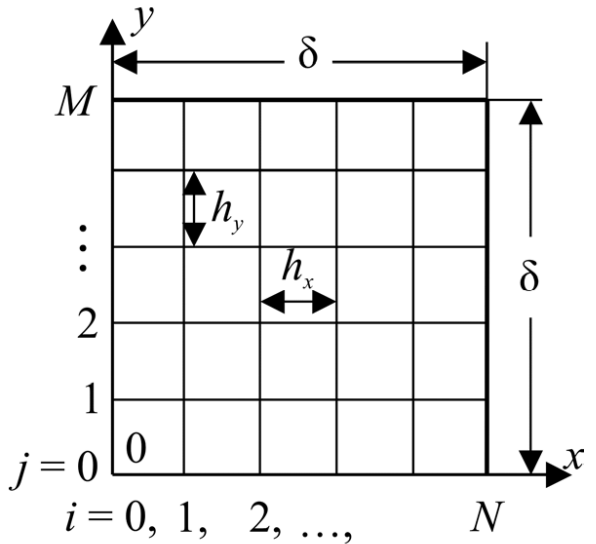


Рис. 6.1. Разбиение расчетной области

$$\frac{\partial T}{\partial \tau} = a \left( \frac{\partial^2 T}{\partial x^2} + \frac{\partial^2 T}{\partial y^2} \right), \quad (6.1)$$

$$T(x, y, 0) = T_0, \quad \left. \frac{\partial T}{\partial x} \right|_{x=0} = \left. \frac{\partial T}{\partial y} \right|_{y=0} = 0, \quad (6.2)$$

$$-\lambda \left. \frac{\partial T}{\partial x} \right|_{x=\delta} = -\lambda \left. \frac{\partial T}{\partial y} \right|_{y=\delta} = \alpha (T_{\text{п}} - T_{\text{c}}),$$

где  $T$  – температура;  $\tau$  – время;  $a$  – коэффициент температуропроводности;  $\lambda$  – коэффициент теплопроводности;  $\alpha$  – коэффициент теплоотдачи;  $T_{\text{п}}$ ,  $T_{\text{c}}$  – температуры поверхности и окружающей среды.

В частном случае, в соответствии с методом регулярного теплового режима пренебрегают внутренним тепловым сопротивлением по сравнению с внешним. Решение задачи (6.1–6.2) принимает вид:

$$\theta = \theta_0 e^{-Bi \cdot Fo}, \quad (6.3)$$

где  $\theta = T - T_c$  – избыточная температура;  $Bi = \alpha \cdot \delta / \lambda$ ,  $Fo = a \cdot \tau / \delta^2$  – числа Био и Фурье. На практике решение (6.3) используется уже при  $Bi < 0,1$ .

Для численного решения задачи на расчетную область наносится регулярная сетка с координатами узлов:

$$x_i = i h_x; \quad i = 0, 1, 2, \dots, N; \quad h_x = \delta / N,$$

$$y_j = j h_y; \quad j = 0, 1, 2, \dots, M; \quad h_y = \delta / M, \quad (6.4)$$

$$\tau_k = k h_\tau; \quad k = 1, 2, 3, \dots,$$

где  $N, M$  – числа разбиений расчетной области соответственно в направлении координат  $x, y$ ;  $h_x, h_y, h_\tau$  – соответственно шаги пространственной (по  $x, y$ ) и временной (по  $\tau$ ) сеток;  $i, j, k$  – номера узловых точек в направлении координат  $x, y, \tau$ .

Уравнение теплопроводности (6.1) может быть представлено в дискретном виде по явной схеме, в соответствии с которой вторая производная по координатам записывается на текущем  $k$ -м временном слое с известным распределением температуры (рис. 6.2). В результате аппроксимации уравнения (6.1)

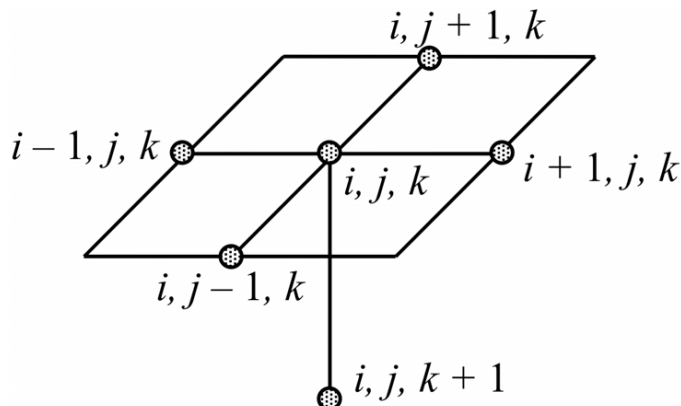


Рис. 6.2. Сеточный шаблон явной схемы

$$\begin{aligned} & \frac{T_{i,j,k+1} - T_{i,j,k}}{h_\tau} = \\ & = a \left( \frac{T_{i-1,j,k} - 2T_{i,j,k} + T_{i+1,j,k}}{h_x^2} + \frac{T_{i,j-1,k} - 2T_{i,j,k} + T_{i,j+1,k}}{h_y^2} \right) \end{aligned} \quad (6.5)$$

получается явная формула для температуры:

$$\begin{aligned} T_{i,j,k+1} = & T_{i,j,k} \left( 1 - \frac{2ah_\tau}{h_x^2} - \frac{2ah_\tau}{h_y^2} \right) + \frac{ah_\tau}{h_x^2} (T_{i+1,j,k} + T_{i-1,j,k}) + \\ & + \frac{ah_\tau}{h_y^2} (T_{i,j+1,k} + T_{i,j-1,k}), \end{aligned} \quad (6.6)$$

вычисления по которой устойчивы при следующем ограничении на шаг сетки по времени:

$$h_\tau < h_x^2 h_y^2 / [2a(h_x^2 + h_y^2)]. \quad (6.7)$$

С применением формул односторонней разности записываются граничные условия (2) на поверхностях блюмса:

$$\begin{aligned} -\lambda \frac{T_{N,j} - T_{N-1,j}}{h_x} &= \alpha(T_{N,j} - T_c), \\ -\lambda \frac{T_{i,M} - T_{i,M-1}}{h_y} &= \alpha(T_{i,M} - T_c), \end{aligned} \quad (6.8)$$

из которых определяется температура на поверхностях блюмса:

$$\begin{aligned} T_{N,j} &= \frac{T_c + \frac{\lambda}{\alpha h_x} T_{N-1,j}}{1 + \frac{\lambda}{\alpha h_x}}, \quad j = 1, \dots, M-1; \\ T_{i,M} &= \frac{T_c + \frac{\lambda}{\alpha h_y} T_{i,M-1}}{1 + \frac{\lambda}{\alpha h_y}}, \quad i = 0, \dots, N-1, \end{aligned} \quad (6.9)$$

а также граничные условия на осях симметрии

$$T_{0,j} = T_{1,j}, \quad j = 1, \dots, M-1; \quad T_{i,0} = T_{i,1}, \quad i = 1, \dots, N-1. \quad (6.10)$$

$N-2, M \quad N-1, M \quad N, M$

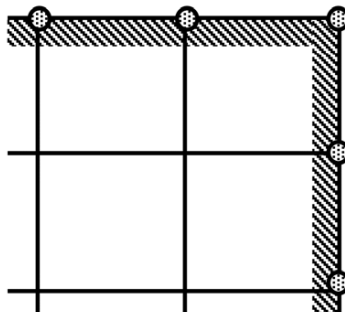


Рис. 6.3. Фрагмент разбиения расчетной области

Угловые точки области  $(0,0; 0,M; N,0; N,M)$  в расчетах не участвуют. Для вычисления температур в угловых точках применяют аппроксимацию стационарного уравнения теплопроводности (1). Например, для угловой точки  $(N, M)$ , рис. 6.3) это уравнение в конечных разностях принимает вид:

$$\frac{T_{N-2,M} - 2T_{N-1,M} + T_{N,M}}{h_x^2} + \frac{T_{N,M-2} - 2T_{N,M-1} + T_{N,M}}{h_y^2} = 0,$$

из которого в частном случае при  $h_x = h_y$  получаем формулу аппроксимации:

$$T_{N,M} = T_{N-1,M} + T_{N,M-1} - (T_{N-2,M} + T_{N,M-2})/2. \quad (6.11)$$

Аналогично для других угловых точек

$$T_{0,0} = T_{1,0} + T_{0,1} - (T_{2,0} + T_{0,2})/2;$$

$$T_{0,M} = T_{0,M-1}; \quad T_{N,0} = T_{N-1,0}. \quad (6.12)$$

Для вывода на экран (печать) массива поля температур  $T_{i,j}$  в плоскости  $Oxy$  в виде изотерм можно воспользоваться алгоритмом перевода цифрового массива в символьный. Для этого интервал температур  $\Delta T = T_0 - T_c$  делится на  $n$  подинтервалов, в каждом из которых записываются цифровые символы, разделенные символами пробелов (рис. 6.4). Правые границы интервалов определяются по формуле:

$$T_l = T_c + \Delta T \cdot l/n, \quad l = 1, 2, \dots, n,$$

где  $T_l$  – значение температуры на правой границе  $l$ -го подинтервала.

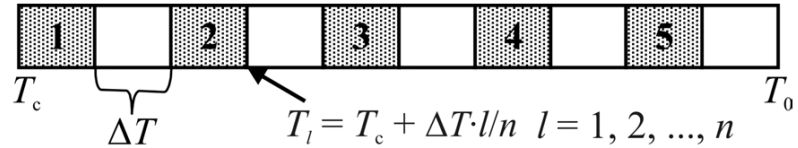


Рис. 6.4. Представление температурного поля в символьном виде

Алгоритм решения задачи по явной схеме представлен на рис. 6.5.

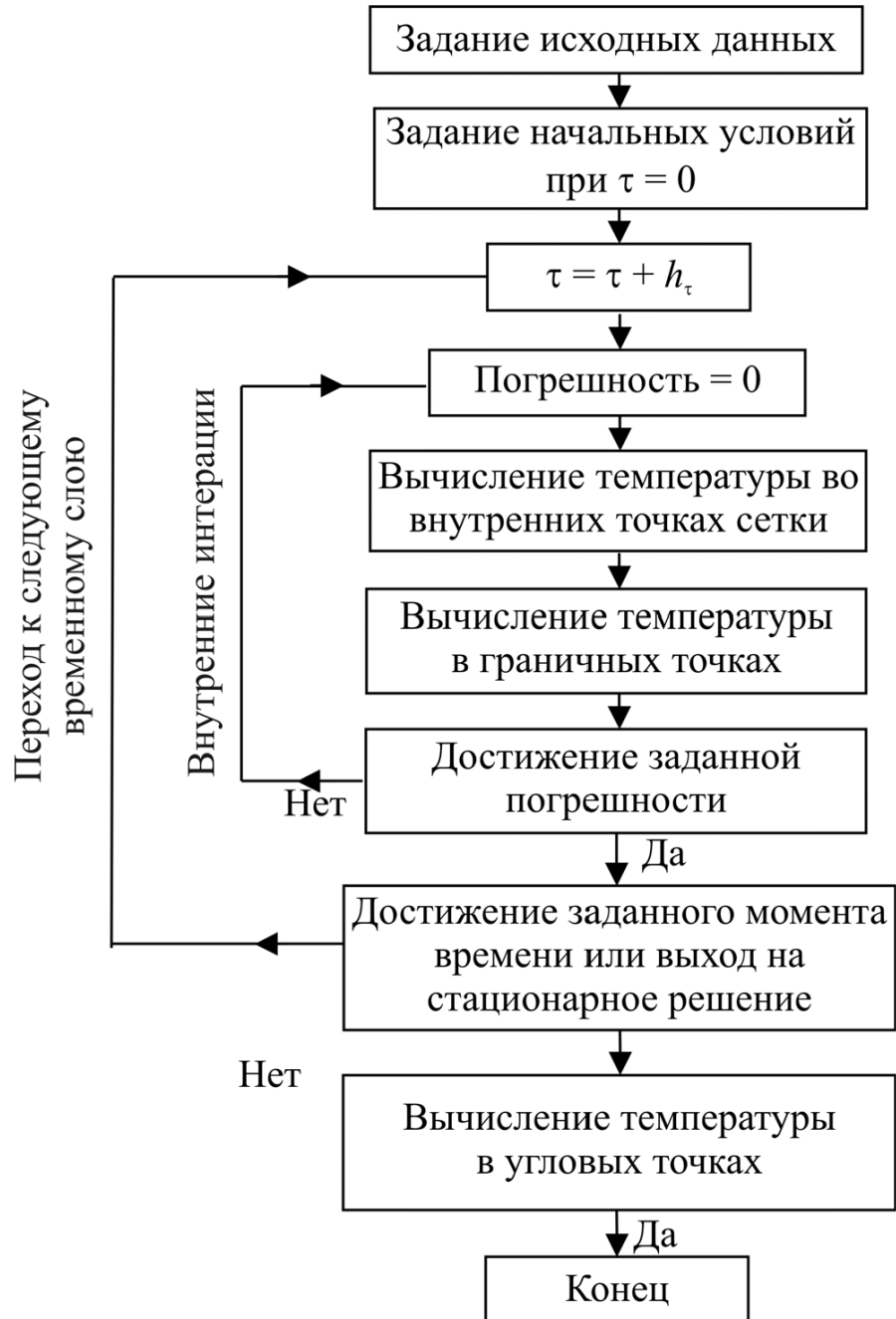


Рис. 6.5. Алгоритм решения нестационарной задачи теплопроводности для блюмса

## Выполнение работы

1. Составить Паскаль-программу расчета времени охлаждения блюмса. Блок-схема программы приведена на рис. 6.5. Ниже приведён пример Паскаль-программы, реализующей расчет времени охлаждения блюмса по явной схеме.

```

program Example_6;
const
  n = 9;
  m = 9;
  lx = 1;
  ly = 0.01;
  hx = lx/n;
  hy = ly/m;
  epsilon = 1e-6;
var T,TT : array [0..n,0..m] of real;
  Tstart,Tc1,Tc2,alpha1,alpha2 : real;
  a,lambda,rho,cp :real;
  delta,tau,htau,ahxt,ahyt,lahx,lahy : real;
  i,j : integer;
begin
{1. Ввод исходных данных}
  Tc1:= 100;
  Tc2:= 100;
  alpha1:=0.1;
  alpha2:=35;
  Tstart :=500;
  lambda:=45.5;
  rho:=7900;
  cp:=4600;
  a:=lambda/cp/rho;
  for i:=0 to n do for j:=0 to m do T[i,j]:= Tstart;
  tau := 0;
  htau := sqr(hx)*sqr(hy)/a/(sqr(hx)+sqr(hy))/6;
  ahxt:=a*htau/sqr(hx);
  ahyt:=a*htau/sqr(hy);
  lahx:=lambda/alpha1/hx;
  lahy:=lambda/alpha2/hy;
{2. Рабочий блок}
  repeat
    {2.1. Определение температуры
      на следующем временном слое}
    tau:=tau + htau;
{2.1.1. Расчёт температурного поля
  во внутренней области}
    for i:=1 to n-1 do
      for j:=1 to m-1 do
        TT[i,j]:= T[i,j]*(1-2*(ahxt+ahyt))
                  +(T[i-1,j]+T[i+1,j])*ahxt
                  +(T[i,j-1]+T[i,j+1])*ahyt;

```

```

{2.1.2. Расчёт температур на внешних границах}
for j:=1 to m-1 do
begin
    TT[0,j]:= T[1,j];
    TT[n,j]:= (Tc1 + T[n-1,j]*lahx) / (1+lahx);
end;
for i:=1 to n-1 do
begin
    TT[i,0]:= T[i,1];
    TT[i,m]:= (Tc2 + T[i,m-1]*lahy) / (1+lahy);
end;
{2.2 Определение различия решений
на k-ом и k+1-ом временных слоях}
delta := 0;
for i:=0 to n do
    for j:=0 to m do
        if abs(T[i,j]-TT[i,j])>delta
            then delta := abs(T[i,j]-TT[i,j]);
    T := TT;
until delta <= epsilon;
{2.3. Расчёт температур в углах расчётной области}
T[0,0]:=0.5*(T[1,0] + T[0,1]);
T[0,m]:=0.5*(T[1,m] + T[0,m-1]);
T[n,0]:=0.5*(T[n-1,0] + T[n,1]);
T[n,m]:=0.5*(T[n-1,m] + T[n,m-1]);
{3. Вывод результата}
writeln('Результаты расчёта');
writeln('Время установления стационара:',
      tau:8:2, tau/htau:8:2);
writeln('Распределение температуры по слою');
for j:=m downto 0 do
    for i:=0 to n do
        write(T[i,j]:8:2);
writeln(tau*a/sqr(ly):8:2);
end.

```

2. Ввести в программу исходные данные: полутолщину блюмса  $\delta = 10$  см; температуру окружающей среды  $T_c = 0$  °C, теплофизические свойства стали: коэффициент теплопроводности  $\lambda = 50$  Вт/(м·К), коэффициент температуропроводности  $a = 1,4 \cdot 10^{-5}$  м<sup>2</sup>/с, коэффициент теплоотдачи и начальную температуру слоя в соответствии с табл. 6.1

Таблица 6.1

| № задания                                     | 1  | 2  | 3  | 4  | 5  | 6  | 7  | 8  | 9  | 10 | 11 | 12 | 13 | 14 | 15 |
|---|----|----|----|----|----|----|----|----|----|----|----|----|----|----|----|
| $\alpha \cdot 10^{-1}$ Вт/(м <sup>2</sup> ·К) | 20 | 21 | 22 | 23 | 24 | 25 | 26 | 27 | 28 | 29 | 30 | 31 | 32 | 33 | 34 |
| $T_0 \cdot 10^{-1}$ °C                        | 50 | 52 | 54 | 56 | 58 | 60 | 62 | 64 | 66 | 68 | 70 | 72 | 74 | 76 | 78 |

3. Определить по методу регулярного теплового режима время охлаждения блюмса ( $\tau_k$ ) до температуры, отличающейся от температуры окружающей среды на 1 %. Построить график зависимости  $T(\tau)$  (аналитическое решение).

4. Провести вычислительный эксперимент на сгущающейся пространственной сетке (принять  $N = M$ , в этих условиях  $h_x = h_y = h$ , шаг временной сетки выбирать равным  $h_\tau = 0,9 \cdot h^2 / (4a)$ ) и определить необходимое число разбиений сетки построением на графике зависимостей  $T(0, 0, \tau)$  при различных числах разбиений. Сравнить времена охлаждения, полученные аналитическим и численным методами на различных сетках. Используя символьный метод вывода температурного поля, построить изотермы для трех-четырех моментов времени в интервале  $0 < \tau < \tau_k$ , при выбранном числе разбиений расчетной области.

### Контрольные вопросы

1. Конечно-разностное представление первой и второй производных.
2. Явная и неявная схемы аппроксимации уравнения теплопроводности.
3. Оценка ошибок аппроксимации уравнения теплопроводности.
4. Соотношение между временным и пространственным шагами сетки, обеспечивающее минимальную ошибку аппроксимации уравнения теплопроводности.
5. Аппроксимация граничных условий теплообмена по формулам первого и второго порядков точности.
6. Векторно-матричное представление сеточных уравнений.
7. Запись основных операторов программирования на языке Паскаль.

## 7. Расчет времени затвердевания непрерывного плоского слитка (сляба)

**Цель работы:** ознакомиться с численным методом решения одномерных задач затвердевания слитков.

**Приборы и принадлежности:** компьютер.

### Сведения из теории

Непрерывный плоский слиток (сляб) толщиной  $2\delta$  вытягивается из неподвижного кристаллизатора с постоянной скоростью  $u$  (рис. 7.1). При охлаждении на поверхностях сляба из жидкой фазы формируется корка затвердевшего металла толщиной  $\varepsilon$ . На глубине  $l_k$  или в момент времени  $\tau_k = l_k/u$  формирование сляба завершается. Математическая формулировка задачи включает дифференциальное уравнение переноса энергии

$$\frac{\partial T}{\partial \tau} + u \frac{\partial T}{\partial y} = a_{\text{эфф}} \frac{\partial^2 T}{\partial x^2}, \quad (7.1)$$

которое в стационарном случае ( $\partial T / \partial \tau = 0$ ) принимает вид:

$$u \frac{\partial T}{\partial y} = a_{\text{эфф}} \frac{\partial^2 T}{\partial x^2}, \quad (7.2)$$

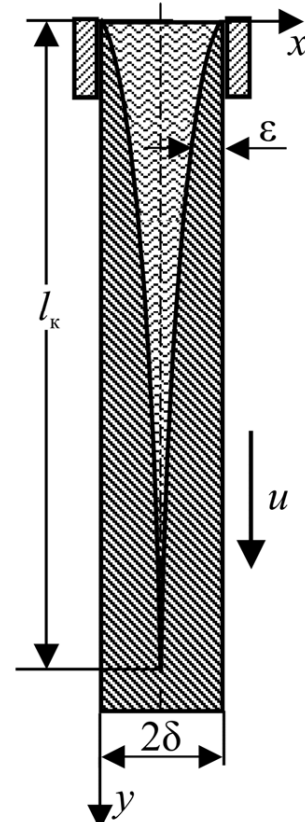


Рис. 7.1. Схема формирования сляба

а с учетом кинематического соотношения ( $u = y/\tau$ )  $\partial T / \partial (y/u) = \partial T / \partial \tau$  имеем квазистационарное уравнение переноса энергии

$$\frac{\partial T}{\partial \tau} = a_{\text{эфф}} \frac{\partial^2 T}{\partial x^2}, \quad (7.3)$$

где  $a_{\text{эфф}} = \lambda / (\rho c_{\text{эфф}})$  – эффективная температуропроводность;  $\lambda$ ,  $\rho$  – коэффициент теплопроводности и плотность; эффективная теплоемкость скачком возрастает в интервале температур ликвидуса ( $T_{\text{лик}}$ ) и солидуса ( $T_{\text{сол}}$ ) двухфазной зоны и учитывает выделение скрытой теплоты затвердевания ( $L$ )

$$c_{\text{эфф}} = \begin{cases} c & \text{при } T > T_{\text{лик}}, \quad T < T_{\text{сол}}, \\ c + \frac{L}{T_{\text{лик}} - T_{\text{сол}}} & \text{при } T_{\text{сол}} \leq T \leq T_{\text{лик}}. \end{cases}$$

Начальная температура расплава в кристаллизаторе

$$T(\tau = 0) = T_{\text{лик}} + \delta T, \quad (7.4)$$

граничные условия для расчетной области ( $0 < x < \delta$ ) имеют вид:

$$T|_{x=0} = T_{\text{п}} , \quad \left. \frac{\partial T}{\partial x} \right|_{x=\delta} = 0, \quad (7.5)$$

где  $\delta T$  – перегрев расплава над температурой ликвидуса;  $T_{\text{п}}$  – температура поверхности слитка.

В частном случае, когда температура по толщине корки сляба изменяется по линейному закону, решение краевой задачи (7.3–7.5) принимает вид:

$$\varepsilon = \sqrt{\frac{2\lambda}{\rho L}(T_{\text{зат}} - T_{\text{п}})\tau}, \quad (7.6)$$

где  $T_{\text{зат}}$  – температура затвердевания, которая находится в интервале температур ликвидуса и солидуса и которая может быть вычислена по формуле  $T_{\text{зат}} = (T_{\text{лик}} + T_{\text{сол}}) / 2$ .

Для численного решения задачи на расчетную область наносится регулярная сетка с координатами узлов:

$$x_i = ih_x; \quad i = 0, 1, \dots, N; \quad h_x = \delta/N, \quad (7.7)$$

$$\tau_k = kh_\tau; \quad k = 1, 2, \dots,$$

где  $N$  – число разбиений по толщине слоя  $\delta$ ;  $h_x, h_\tau$  – соответственно шаги пространственной (по  $x$ ) и временной (по  $\tau$ ) сеток;  $i, k$  – номера узловых точек в направлении координат  $x, \tau$ .

Уравнение переноса энергии (7.3) может быть представлено в дискретном виде по явной схеме, в соответствии с которой вторая производная по координате записывается на «старом»  $k$ -м временном слое с известным распределением температуры (рис. 7.2). В результате из аппроксимации уравнения (7.3):

$$\begin{aligned} & \frac{T_{i,k+1} - T_{i,k}}{h_\tau} = \\ & = a \frac{T_{i+1,k} - 2T_{i,k} + T_{i-1,k}}{h_x^2} \end{aligned} \quad (7.8)$$

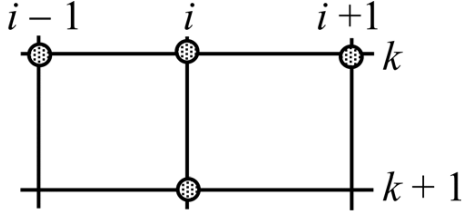


Рис. 7.2. Сеточный шаблон

получается явная формула для явной схемы 1-го порядка точности температуры:

$$T_{i,k+1} = T_{i,k} \left( 1 - \frac{2ah_\tau}{h_x^2} \right) + \frac{ah_\tau}{h_x^2} (T_{i+1,k} + T_{i-1,k}), \quad (7.9)$$

вычисления по которой устойчивы при следующем ограничении на шаг сетки по времени:

$$h_\tau < h_x^2 / (2a_{i,k \max}). \quad (7.10)$$

С применением формулы односторонней разности записывается граничное условие на оси симметрии:

$$T_{N+1} = T_N. \quad (7.11)$$

Текущая толщина твердой фазы может быть получена по формуле линейной интерполяции:

$$\varepsilon = h_x \left( i + \frac{T_{\text{зат}} - T_i}{T_{i+1} - T_i} \right) \quad \text{при } T_i < T_{\text{зат}} < T_{i+1}, \quad i = 0, 1, \dots, N-1. \quad (7.12)$$

Алгоритм решения задачи представлен на рис. 7.3

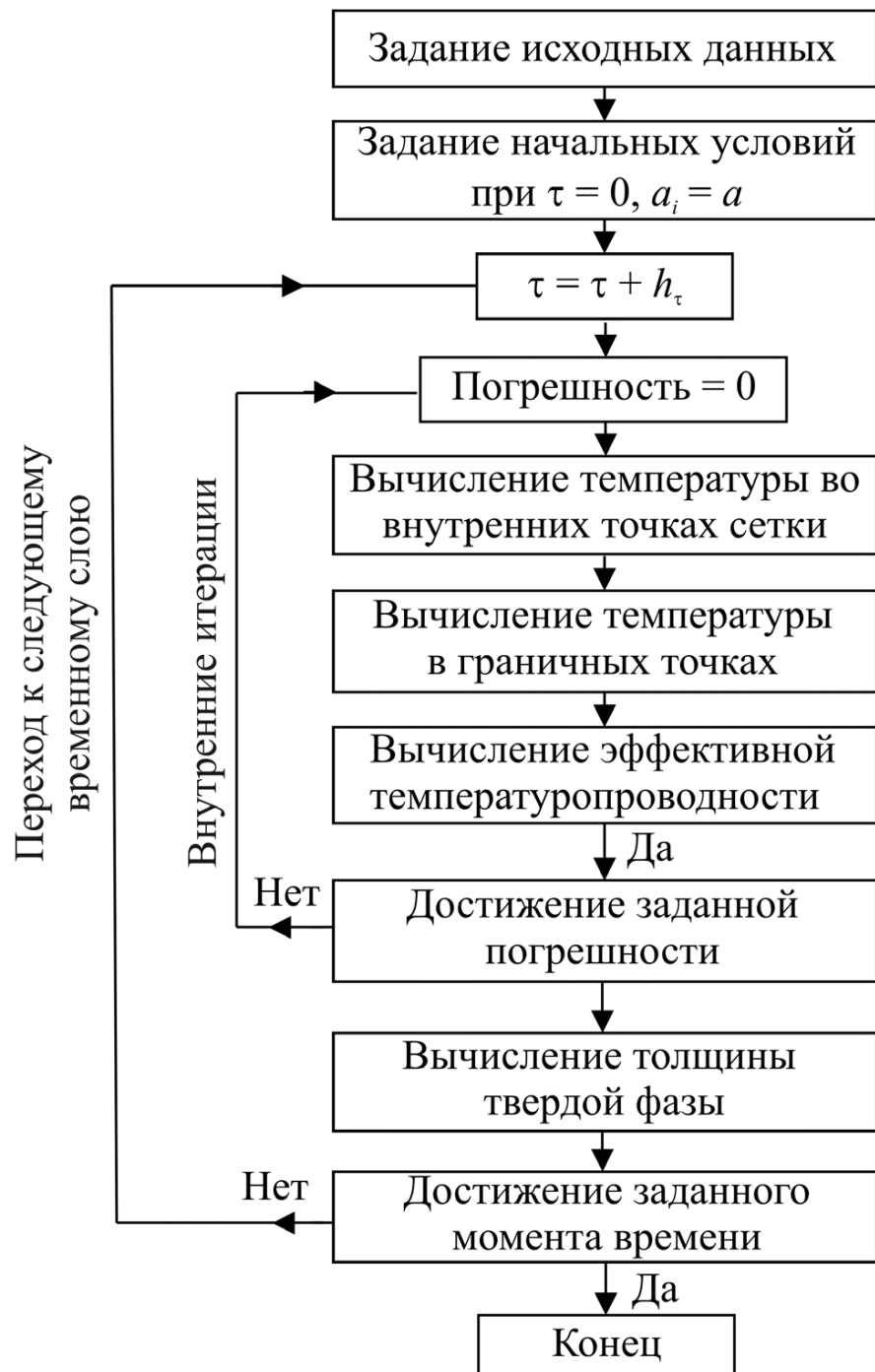


Рис. 7.3. Алгоритм решения задачи затвердевания сляба

### Выполнение работы

- Составить Паскаль-программу расчета затвердевания сляба. Блок-схема программы приведена на рис. 7.3. Ниже приведён пример Паскаль-программы, реализующей расчет времени охлаждения блюмса по явной схеме.

2. Ввести в программу исходные данные: полутолщину сляба  $\delta = 10$  см; температуру окружающей среды  $T_c = 0$  °C, температуры ликвидуса  $T_{лик} = 1500$  °C, солидуса  $T_{сол} = 1430$  °C, перегрев расплава  $\delta T = 10$  °C, теплофизические свойства стали: коэффициент теплопроводности  $\lambda = 50$  Вт/(м·К), коэффициент температуропроводности  $a = 1,4 \cdot 10^{-5}$  м<sup>2</sup>/с, плотность  $\rho = 7900$  кг/м<sup>3</sup>; скрытую теплоту затвердевания  $L = 270$  кДж/кг, температуру поверхности сляба в соответствии с табл. 7.1

```

program Example_7;
const n = 100;
      lx = 0.1;
      hx = lx/n;
      epsilon = 1e-6;
var T,TT,ae : array [0..n] of real;
      Tstart,Tc1,alpha1 : real;
      a0,a1,lambda,rho,cp,TS,TL,L :real;
      delta,tau,htau,ahtx,lahx,htx : real;
      i : integer;
begin
{1. Ввод исходных данных}
  {1.1. Теплофизические свойства металла}
  lambda:=45.5;
  rho:=7900;
  cp:=4600;
  TL:=1500;
  TS:=1430;
  L:=270e3;
  a0:=lambda/cp/rho;
  a1:=lambda/rho/(cp + L/(TL-TS));
  {1.2. Параметры процесса}
  Tc1:= 100;
  alpha1:=0.1;
  Tstart:=1550;
  {1.3. Параметры расчётного ядра}
  htau := sqr(hx)/a0/6;
  htx:=htau/sqr(hx);
  lahx:=lambda/alpha1/hx;
{2. Рабочий блок}
  for i:=0 to n do T[i]:= Tstart;
  tau := 0;
  repeat
    {2.1. Определение температуры
      на следующем временном слое}
    tau:=tau + htau;
    {2.1.1. Расчёт температурного поля
      во внутренней области}
    for i:=0 to n do
    begin

```

```

{Расчёт эффективной температуропроводности}
if (T[i]>=Ts) and (T[i]<=TL)
    then ae[i]:=a1
    else ae[i]:=a0;
ahtx:=ae[i]*htx;
TT[i]:= T[i] * (1-2*ahtx)
      + (T[i-1]+T[i+1]) * ahtx;
end;
{2.1.2. Расчёт температур на внешних границах}
TT[0]:= T[1];
TT[n]:= (Tc1 + T[n-1]*lahx) / (1+lahx);
{2.2 Определение различия решений
на k+1-ом и k-ом временных слоях}
delta := 0;
for i:=0 to n do
    if abs(T[i]-TT[i])>delta
        then delta := abs(T[i]-TT[i]);
T := TT;
until delta <= epsilon;

{3. Вывод результата}
writeln('Результаты расчёта');
writeln('Время установления стационара:',
      tau:8:2, tau/htau:8:2);
writeln('Распределение температуры по слою');
for i:=0 to n do write(T[i]:8:2);
end.

```

Таблица 7.1

| № задания                                       | 1  | 2  | 3  | 4  | 5  | 6  | 7  | 8  | 9  | 10 | 11 | 12 | 13 | 14 | 15 |
|---|----|----|----|----|----|----|----|----|----|----|----|----|----|----|----|
| $T_{\pi} \cdot 10^{-1} \text{ } ^\circ\text{C}$ | 70 | 72 | 74 | 76 | 78 | 80 | 82 | 84 | 86 | 88 | 90 | 92 | 94 | 96 | 98 |

3. Определить по формуле (7.6) время окончания затвердевания сляба ( $\tau_k$ ) до. Построить график зависимости  $\varepsilon(\tau)$  (аналитическое решение).

4. Провести вычислительный эксперимент на сгущающейся пространственной сетке (шаг временной сетки выбирать равным  $h_\tau = 0,9 \cdot h_x^2 / (2a_{\max})$ ) и сравнить полученные решения на графике зависимости  $\varepsilon(\tau)$ . Сравнить на этом же графике численные решения с аналитическим.

### Контрольные вопросы

1. Конечно-разностное представление первой и второй производных.
2. Явная и неявная схемы аппроксимации уравнения теплопроводности.

3. Оценка ошибок аппроксимации уравнения теплопроводности.
4. Соотношение между временным и пространственным шагами сетки, обеспечивающее минимальную ошибку аппроксимации уравнения теплопроводности.
5. Аппроксимация граничных условий теплообмена по формулам первого и второго порядков точности.
6. Векторно-матричное представление сеточных уравнений.
7. Запись основных операторов программирования на языке Паскаль.

## 8. Расчет времени затвердевания непрерывного слитка квадратного сечения (блюма)

**Цель работы:** ознакомиться с численным методом решения двумерных задач нестационарной теплопроводности.

**Приборы и принадлежности:** компьютер.

### Сведения из теории

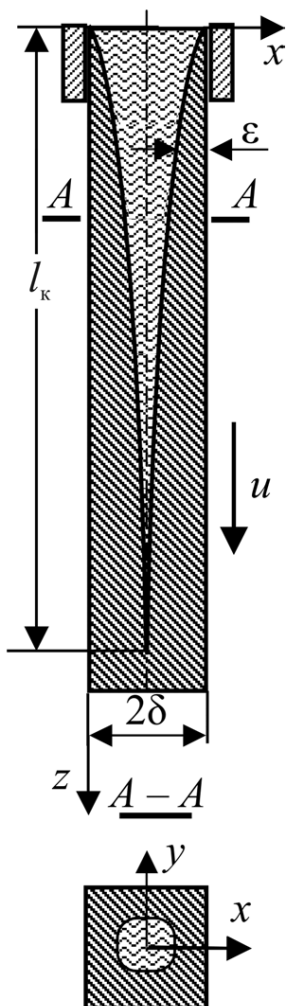


Рис. 8.1. Схема формирования блюмса

Непрерывный слиток квадратного сечения  $2\delta \times 2\delta$  (блюмс) вытягивается из неподвижного кристаллизатора с постоянной скоростью  $u$  (рис. 8.1). При охлаждении на поверхностях блюмса из жидкой фазы формируется корка затвердевшего металла толщиной  $\varepsilon$ . На глубине  $l_k$  или в момент времени  $\tau_k = l_k/u$  формирование блюмса завершается. Математическая формулировка задачи по методу сквозного счета включает дифференциальное уравнение переноса энергии:

$$\frac{\partial T}{\partial \tau} + u \frac{\partial T}{\partial z} = a_{\text{эфф}} \left( \frac{\partial^2 T}{\partial x^2} + \frac{\partial^2 T}{\partial y^2} \right), \quad (8.1)$$

которое в стационарном случае ( $\partial T / \partial \tau = 0$ ) принимает вид:

$$u \frac{\partial T}{\partial z} = a_{\text{эфф}} \left( \frac{\partial^2 T}{\partial x^2} + \frac{\partial^2 T}{\partial y^2} \right), \quad (8.2)$$

а с учетом кинематического соотношения ( $u = z/\tau$ )  $\partial T / \partial (z/u) = \partial T / \partial \tau$  имеем квазистационарное уравнение переноса энергии:

$$\frac{\partial T}{\partial \tau} = a_{\text{эфф}} \left( \frac{\partial^2 T}{\partial x^2} + \frac{\partial^2 T}{\partial y^2} \right), \quad (8.3)$$

где  $a_{\text{эфф}} = \lambda / (\rho c_{\text{эфф}})$  – эффективная температуропроводность;  $\lambda$ ,  $\rho$  – коэффициент теплопроводности и плотность; эффективная теплоемкость скачком возрастает в интервале температур ликвидуса ( $T_{\text{лик}}$ ) и солидуса ( $T_{\text{сол}}$ ) двухфазной зоны и учитывает выделение скрытой теплоты затвердевания ( $L$ )

$$c_{\text{эфф}} = \begin{cases} c & \text{при } T > T_{\text{лик}}, \quad T < T_{\text{сол}}, \\ c + \frac{L}{T_{\text{лик}} - T_{\text{сол}}} & \text{при } T_{\text{сол}} \leq T \leq T_{\text{лик}}. \end{cases}$$

Начальная температура расплава в кристаллизаторе

$$T(\tau = 0) = T_{\text{лик}} + \delta T, \quad (8.4)$$

граничные условия для расчетной области ( $0 < x < \delta$ ,  $0 < y < \delta$ ) имеют вид:

$$T(\delta, y) = T(x, \delta) = T_{\text{п}}, \quad \partial T(x, 0) / \partial y = \partial T(0, y) / \partial x = 0, \quad (8.5)$$

где  $\delta T$  – перегрев расплава над температурой ликвидуса;  $T_{\text{п}}$  – температура поверхности слитка.

В частном случае, когда температура по толщине корки сляба изменяется по линейному закону, решение краевой задачи (8.3–8.5) принимает вид:

$$\varepsilon = \sqrt{\frac{2\lambda}{\rho L} (T_{\text{зат}} - T_{\text{п}}) \tau}, \quad (8.6)$$

где  $T_{\text{зат}}$  – температура затвердевания, которая находится в интервале температур ликвидуса и солидуса и которая может быть вычислена по формуле  $T_{\text{зат}} = (T_{\text{лик}} + T_{\text{сол}}) / 2$ .

Для численного решения задачи на расчетную область наносится регулярная сетка с координатами узлов:

$$x_i = i h_x; \quad i = 0, 1, \dots, N; \quad h_x = \delta / N,$$

$$y_j = jh_y; \quad j = 0, 1, \dots, M; \quad h_y = \delta/M, \quad (8.7)$$

$$\tau_k = kh_\tau; \quad k = 1, 2, \dots,$$

где  $N, M$  – числа разбиений расчетной области соответственно в направлении координат  $x, y$ ;  $h_x, h_y, h_\tau$  – соответственно шаги пространственной (по  $x, y$ ) и временной (по  $\tau$ ) сеток;  $i, j, k$  – номера узловых точек в направлении координат  $x, y$  и времени  $\tau$ . На рис. 8.2 заштриховано возможное положение двухфазной зоны.

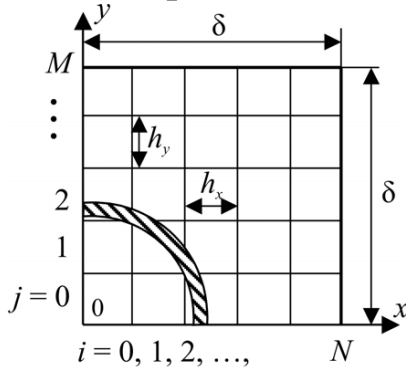


Рис. 8.2. Расчетная область с указанием положения двухфазной зоны

Уравнение переноса энергии (8.3) может быть представлено в дискретном виде по явной схеме, в соответствии с которой вторая производная по координатам записывается на «старом» ( $k-1$ )-м временном слое с известным распределением температуры. В результате аппроксимации уравнения (8.3)

$$\begin{aligned} \frac{T_{i,j,k+1} - T_{i,j,k}}{h_\tau} &= \\ = a_{i,j} \left( \frac{T_{i-1,j,k} - 2T_{i,j,k} + T_{i+1,j,k}}{h_x^2} + \frac{T_{i,j-1,k} - 2T_{i,j,k} + T_{i,j+1,k}}{h_y^2} \right) \end{aligned} \quad (8.8)$$

получается явная формула для температуры:

$$\begin{aligned} T_{i,j,k+1} &= T_{i,j,k} \left( 1 - \frac{2a_{i,j}h_\tau}{h_x^2} - \frac{2a_{i,j}h_\tau}{h_y^2} \right) + \\ &+ \frac{a_{i,j}h_\tau}{h_x^2} (T_{i+1,j,k} + T_{i-1,j,k}) + \frac{a_{i,j}h_\tau}{h_y^2} (T_{i,j+1,k} + T_{i,j-1,k}), \end{aligned} \quad (8.9)$$

вычисления по которой устойчивы при следующем ограничении на шаг сетки по времени:

$$h_\tau < h_x^2 h_y^2 / \left[ 2a_{\max} (h_x^2 + h_y^2) \right]. \quad (8.10)$$

С применением формул односторонней разности записываются граничные условия (8.5) на поверхностях блумса:

$$T_{N,j} = T_{i,M} = T_{\pi}, \quad i = 1, 2, \dots, N-1; \quad j = 1, 2, \dots, M-1, \quad (8.11)$$

а также граничные условия на осях симметрии:

$$T_{0,j} = T_{1,j}, \quad T_{i,0} = T_{i,1}, \quad i = 1, 2, \dots, N-1; \quad j = 1, 2, \dots, M-1. \quad (8.12)$$

Угловые точки области  $(0, 0; 0, M; N, 0; N, M)$  в расчетах не участвуют. Для вычисления температур в угловых точках применяют аппроксимацию стационарного уравнения переноса энергии (8.3). Например, для угловой точки  $(N, M)$  (рис. 8.3) это уравнение в конечных разностях принимает вид:

$$\frac{T_{N-2,M} - 2T_{N-1,M} + T_{N,M}}{h_x^2} + \frac{T_{N,M-2} - 2T_{N,M-1} + T_{N,M}}{h_y^2} = 0,$$

из которого в частном случае при  $h_x = h_y$  получаем формулу аппроксимации:

$$T_{N,M} = T_{N-1,M} + T_{N,M-1} - (T_{N-2,M} + T_{N,M-2})/2. \quad (8.13)$$

Аналогично для других угловых точек:

$$T_{0,0} = T_{1,0} + T_{0,1} - (T_{2,0} + T_{0,2})/2; \quad T_{0,M} = T_{0,M-1}; \quad T_{N,0} = T_{N-1,0}. \quad (8.14)$$

Для вывода на экран (печать) массива поля температур  $T_{i,j}$  в плоскости  $Oxy$  в виде изотерм можно воспользоваться алгоритмом перевода цифрового массива в символьный. Для этого интервал температур  $\Delta T = T_{\text{сол}} - T_{\pi}$  делится на  $n$  подинтервалов, в каждом из которых записываются цифровые символы, разделенные символами пробелов (рис. 8.4). Правые границы

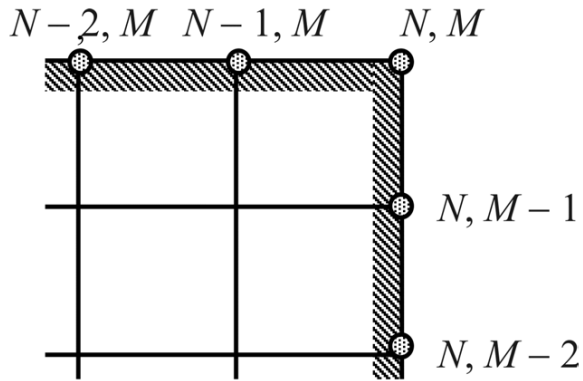


Рис. 8.3. Фрагмент разбиения расчетной области

интервалов определяются по формуле  $T_l = T_{\text{п}} + \Delta T \cdot l/n$ ,  $l = 1, 2, \dots, n$ , где  $T_l$  – значение температуры на правой границе  $l$ -го подинтервала. Для интервала температур фазового перехода ( $T_{\text{лик}} - T_{\text{сол}}$ ) рекомендуется применять буквенный символ « $\Phi$ », а для температур перегрева – символ пробела.

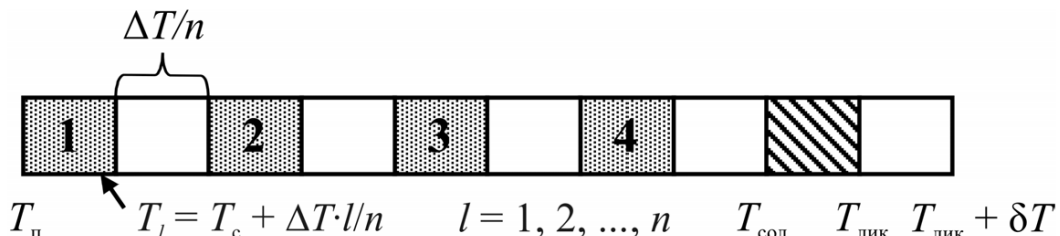


Рис. 8.4. Представление температурного поля в символьном виде

Алгоритм решения задачи по явной схеме представлен на рис. 8.5.

### Выполнение работы

1. Составить Паскаль-программу расчета затвердевания сляба. Блок-схема программы приведена на рис. 8.5. Ниже приведён пример Паскаль-программы, реализующей расчет времени охлаждения блюмса по явной схеме.

```
program Example_8;
uses graph;
const n = 50;
      m = 50;
      lx = 0.1;
      ly = 0.1;
      hx = lx/n;
      hy = ly/m;
      epsilon = 1e-6;
var T,TT,ae : array [0..n,0..m] of double;
    Tstart,Tc1,Tc2,alpha1,alpha,a,lambda,rho,cp,L,af,TS,TL,
    delta,tau,htau,ahtx,ahty,htx,hty,lahx,lahy,taul : double;
    i,j : integer;
    f : text;
procedure gStart;
    var mode,driver : smallint;
begin
    detectgraph(driver,mode);
    initgraph(driver,mode,'');
    setbkcolor(white);
```

```

    cleardevice;
end;

```

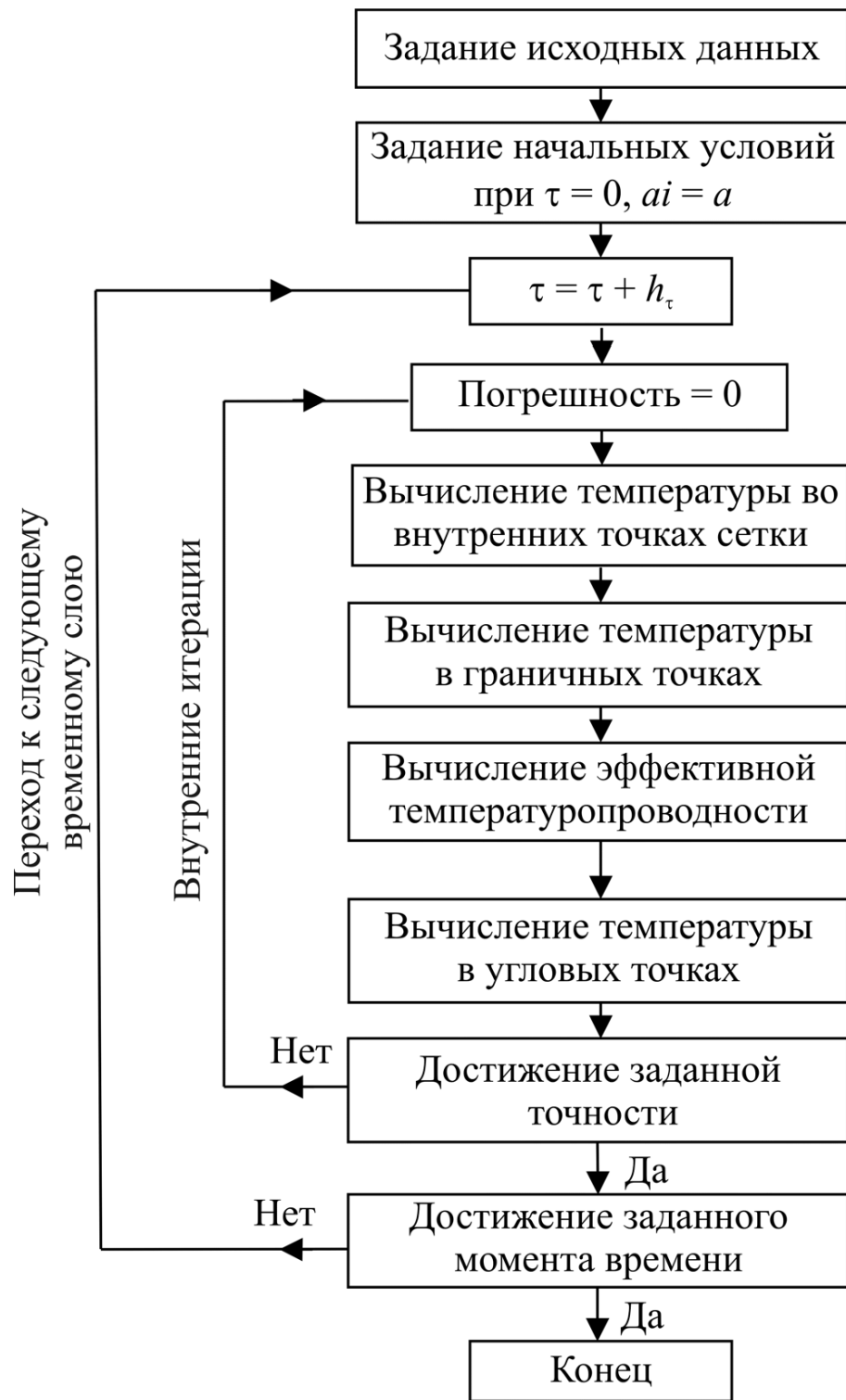


Рис. 8.5. Алгоритм решения задачи затвердевания блюмса

```

procedure gColorField;
var i,j : integer;
    color : integer;

```

```

Tcol : array [1..10] of double =
(200,400,600,800,1000,1200,1400,1430,1500,1600);
begin
  for i:=0 to n do
    for j:=0 to m do
    begin
      color:=1;
      while(T[i,j]>Tcol[color]) and (color<10) do
      begin
        color:= color +1;
      end;
      setfillstyle(SolidFill,Color);
      bar(10+i*10,10+j*10,20+i*10,20+j*10);
    end;
end;

begin
{1. Ввод исходных данных}
  {1.1. Термофизические свойства металла}
  lambda:=45.5;
  rho:=7900;
  cp:=4600;
  TS:=1430;
  TL:=1500;
  L:=270e3;
  a:=lambda/cp/rho;
  af:=lambda/rho/(cp + L/(TL-TS));
  {1.2. Параметры процесса}
  Tc1:= 100;
  Tc2:= 100;
  alpha1:=200;
  alpha2:=35;
  Tstart:=1550;
  for i:=0 to n do for j:=0 to m do T[i,j]:= Tstart;
  tau := 0;
  {1.3. Параметры расчётного ядра}
  tau1:=0;
  htau := sqr(hx)*sqr(hy)/a/(sqr(hx)+sqr(hy))/6;
  htx:=htau/sqr(hx);
  hty:=htau/sqr(hy);
  lahx:=lambda/alpha1/hx;
  lahy:=lambda/alpha2/hy;
{2. Рабочий блок}
  gStart;
  repeat
    {2.1. Определение температуры
      на следующем временном слое}
    tau:=tau + htau;
    {2.1.1. Расчёт эффективной температуропроводности}
    for i:=0 to n do
      for j:=0 to m do
      begin
        if (T[i,j]>Ts) and (T[i,j]<TL)

```

```

        then    ae[i,j] := af
        else    ae[i,j] := a;
        ahtx:= ae[i,j] * htx;
        ahty:= ae[i,j] * hty;
    end;
{2.1.2. Расчёт температурного поля
во внутренней области}
for i:=1 to n-1 do
    for j:=1 to m-1 do
        TT[i,j]:= T[i,j] * (1 -
2* (ahtx+ahty))
                                +(T[i-1,j] +
T[i+1,j])*ahtx
                                +(T[i,j-1] +
T[i,j+1])*ahty;
{2.1.2. Расчёт температур на внешних границах}

    for j:=1 to m-1 do
begin
    TT[0,j]:= T[1,j];
    TT[n,j]:= (Tc1 + T[n-1,j]*lahx)/(1 +
lahx);
end;
for i:=1 to n-1 do
begin
    TT[i,0]:= T[i,1];
    TT[i,m]:= (Tc2 + T[i,m-1]*lahy)/(1 +
lahy);
end;

{2.1.3. Расчёт температур в углах
расчётной области}
TT[0,0]:=0.5*(T[1,0] + T[0,1]);
TT[0,m]:=0.5*(T[1,m] + T[0,m-1]);
TT[n,0]:=0.5*(T[n-1,0] + T[n,1]);
TT[n,m]:=0.5*(T[n-1,m] + T[n,m-1]);
{2.2 Определение различия решений
на k-ом и k+1-ом временных слоях}
delta := 0;
for i:=0 to n do
    for j:=0 to m do
        if abs(T[i,j]-TT[i,j])>delta
            then delta := abs(T[i,j]-
TT[i,j]);
T := TT;

{2.3. Секция визуализации}
if tau1 > 50
then
begin
    gColorField;
    write(T[i,j]:8:2);
    tau1:=0

```

```

    end
else
    tau1:=tau1 + htau;
until delta <= epsilon;

{3. Вывод результата}
writeln('Результаты расчёта');
writeln('Время установления стационара:',
      tau:8:2, tau/htau:8:2);
writeln('Распределение температуры по слою');
for j:=m downto 0 do
    for i:=0 to n do
        write(T[i,j]:8:2);
end.

```

2. Ввести в программу исходные данные: полутолщину блюмса  $\delta = 10$  см, температуры ликвидуса  $T_{лик} = 1500$  °C, солидуса  $T_{сол} = 1430$  °C, перегрев расплава  $\delta T = 10$  °C, теплофизические свойства стали: коэффициент теплопроводности  $\lambda = 50$  Вт/(м·К), коэффициент температуропроводности  $a = 1,4 \cdot 10^{-5}$  м<sup>2</sup>/с, скрытую теплоту затвердевания  $L = 270$  кДж/кг, температуру поверхности блюмса в соответствии с табл. 8.1

3. Определить по формуле (8.6) время окончания затвердевания блюмса ( $\tau_k$ ).

Таблица 8.1

| № задания                | 1  | 2  | 3  | 4  | 5  | 6  | 7  | 8  | 9  | 10 | 11 | 12 | 13 | 14 | 15 |
|--------------------------|----|----|----|----|----|----|----|----|----|----|----|----|----|----|----|
| $T_{п} \cdot 10^{-1}$ °C | 70 | 72 | 74 | 76 | 78 | 80 | 82 | 84 | 86 | 88 | 90 | 92 | 94 | 96 | 98 |

4. Провести вычислительный эксперимент на сгущающейся пространственной сетке при  $N = M$  (шаг временной сетки выбирать равным  $h_\tau = 0,9 \cdot h_x^2 / (4a_{\max})$ ) и сравнить полученные решения на графике зависимости  $\tau_k(N)$ . Построить (при выбранном числе разбиений расчетной области) изотермы для трех – четырех моментов времени в интервале  $0 < \tau < \tau_k$ .

### Контрольные вопросы

1. Конечно-разностное представление первой и второй производных.
2. Явная и неявная схемы аппроксимации уравнения теплопроводности.

3. Соотношение между временным и пространственным шагами сетки, обеспечивающее минимальную ошибку аппроксимации уравнения теплопроводности.
4. Чем объясняется рост корки слитка по закону квадратного корня?
5. Запись основных операторов программирования на языке Паскаль.

## СПИСОК ЛИТЕРАТУРЫ

1. Курбатов, Ю.Л. Металлургические печи: учебное пособие для вузов / Ю.Л. Курбатов, Ю.Е. Василенко; Ю.Л. Курбатов, Ю.Е. Василенко; ГВУЗ "ДонНТУ". – Донецк: ГВУЗ "ДонНТУ", 2013. – 388 с.
2. Введение в математическое моделирование: учеб. пособие / П.В. Трусов [и др.]. – М.: Логос, 2004. – 440 с.
3. Теплотехника металлургического производства: учеб. пособие / Ю.Л. Курбатов, В.В. Кравцов, Н.С. Масс, Ю.Е. Василенко. – Донецк: Издательство «Ноу-лидж» (донецкое отделение), 2011. – 217 с.
4. Цаплин, А.И. Теплофизика в металлургии: учеб. пособие / А.И. Цаплин. – Пермь: Изд-во Перм. гос. техн. ун-та, 2008. – 230 с.
5. Бочкарев, С.В. Диагностика и надежность автоматизированных систем: учеб. пособие / С.В. Бочкарев, А.И. Цаплин. – Перм. гос. техн. ун-т. – Пермь, 2006. – 262 с.
6. Краснощеков, Е.А. Задачник по теплопередаче: учеб. пособие для вузов / Е.А. Краснощеков, А.С. Сукомел. – 4-е изд., перераб. – М.: Энергия, 1980. – 288с.
7. Большаков, В.П. Основы 3D-моделирования [Электронный ресурс]: изучаем работу в AutoCAD, КОМПАС-3D, SolidWorks, Inventor / В.П. Большаков, А.Л. Бочков; В.П. Большаков, А.Л. Бочков. – Санкт-Петербург: Питер, 2013.

**МЕТОДИЧЕСКИЕ УКАЗАНИЯ**  
по проведению практических, лабораторных занятий и  
организации СРС по дисциплине  
**«Моделирование теплотехнических агрегатов в стандартных инженерных пакетах»**

для студентов очной и заочной форм обучения направления подготовки  
22.04.02 «Металлургия» магистерской программы  
«Промышленная теплотехника»

Составитель: доцент, к.т.н. Кашаев Виталий Валерьевич